

Controle e Sistemas Não Lineares

ENGF97

Profs. Daniel Santana
daniel.diniz@ufba.br

Laboratório de Controle e Otimização Industrial
Escola Politécnica
Universidade Federal da Bahia

Salvador-BA
12 de janeiro de 2018



Parte I

Estratégias de controle



Sumário

1 Introdução

2 Controle por linearização

3 Controle por linearização - escalonamento de ganhos

4 *Feedback* linearizante

5 *Backstepping*



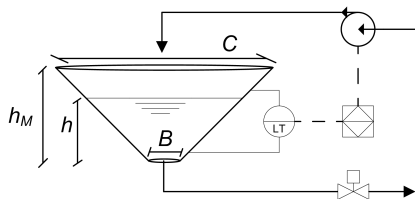
Estratégias para o projeto de sistemas de controle não-linear:

- Controle por linearização
- Controle adaptativo
- *Feedback* linearizante
- *Backstepping*
- Modos deslizantes
- *Lyapunov redesign*
- Amortecimento não linear
- *Passivity-Based Control*



Problema: projetar um controlador de nível

Figura 1: Tanque cônico com área variável.



$$\begin{aligned}\frac{dm}{dt} &= \rho \cdot \dot{w}_i - \rho \cdot \dot{w}_o \\ \frac{d\rho \cdot V(h)}{dt} &= \rho \cdot \dot{w}_i - \rho \cdot k \cdot \sqrt{\rho \cdot g \cdot h} \\ \frac{dV}{dh} \cdot \frac{dh}{dt} &= \dot{w}_i - k \cdot \sqrt{\rho \cdot g \cdot h} \\ \frac{dh}{dt} &= \frac{1}{\left(\frac{dV}{dh}\right)} \cdot \left(\dot{w}_i - k \cdot \sqrt{\rho \cdot g \cdot h}\right) \\ \dot{x} &= \frac{1}{\beta(x)} \cdot (u - c \cdot \sqrt{x})\end{aligned}$$

Volume:

$$V(h) = \frac{\pi \cdot \phi^2}{3} \cdot \left(h + \frac{B/2}{\gamma}\right)^3 - \frac{\pi \cdot (B/2)^3}{3 \cdot \gamma}, \quad \gamma = \frac{C/2 - B/2}{h_M}$$



Sumário

1 Introdução

2 Controle por linearização

3 Controle por linearização - escalonamento de ganhos

4 *Feedback* linearizante

5 *Backstepping*



Casos

Caso regulatório

Estabilizar em um determinado valor de referência.

Caso servo

O sistema deve seguir uma determinada referência.



Caso regulatório

- Pontos de equilíbrio.
- Ponto de linearização: $x_{ss} (= \alpha)$ ($u_{ss} = c \cdot \sqrt{x_{ss}}$)
- Lei de controle: $\underbrace{u - u_{ss}}_{u_\delta} = -K \cdot \underbrace{(x - \alpha)}_{x_\delta}$
- Sistema em malha fechada:

$$\dot{x} = \frac{1}{\beta(x)} \cdot (u_{ss} - K \cdot (x - \alpha) - c \cdot \sqrt{x}) \quad (1)$$

- Malha fechada linearizada em torno do ponto de operação (α):

$$\dot{X}_\delta = A(\alpha, K) \cdot X_\delta \quad (2)$$

- Estabelecer critério de desempenho: avaliar K



Caso regulatório

- Malha fechada linearizada em torno de α :

$$\dot{X}_\delta = \left[-\frac{K}{\beta(\alpha)} - \frac{1}{2} \cdot \frac{c}{\sqrt{\alpha} \cdot \beta(\alpha)} \right] \cdot X_\delta \mid \text{Sistema de 1º ordem.}$$

- Estabelecer critério de desempenho:

Estabilidade:

$$-\frac{K}{\beta(\alpha)} - \frac{1}{2} \cdot \frac{c}{\sqrt{\alpha} \cdot \beta(\alpha)} < 0$$

$$K > -\frac{1}{2} \cdot \frac{c}{\sqrt{\alpha}}$$

Tempo de acomodação: $\tau = \frac{1}{\frac{K}{\beta(\alpha)} + \frac{1}{2} \cdot \frac{c}{\sqrt{\alpha} \cdot \beta(\alpha)}}, 5 \cdot \tau = 10 \text{ s}$

Robustez: qual o maior valor possível de c ?

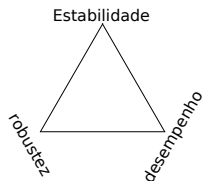
- Simule o sistema para o caso nominal e *mismatch* ($c_{\text{real}} = 1.1 \cdot c_{\text{modelo}}$)
- Desvantagem: *mismatch* \rightarrow *offset*



Caso servo

- Ponto de linearização: $x_{ss} (= \alpha)$ ($u_{ss} = c \cdot \sqrt{x_{ss}}$)
- Ponto de operação: $x_{\infty} = r \mid u_{\infty} = c \cdot \sqrt{r}$
- Lei de controle: $u = u_{\infty} - K \cdot (x - r)$

Projetar K de tal forma que o controlador seja robusto. Considere que $r = \alpha$, um caso mais conservador, e sintonize para este.



Mesmo que r , seja modificado, K continuará FIXO!

Offset: Há necessidade de ação integral na lei de controle.



Exercício

- Compare o desempenho deste controlador com o de um controlador P (Proporcional).
- Compare o desempenho deste controlador com o de um controlador por realimentação de estados, baseado no LQR.



Caso servo (ação integral)

■ Lei de controle:
$$\begin{cases} u = -K_1 \cdot \underbrace{(x - r)}_e - K_2 \cdot \sigma \\ \dot{\sigma} = x - r \end{cases}$$

■ Pontos de linearização: $x_{ss} = \alpha \mid \sigma_{ss} = -\frac{c\sqrt{\alpha}}{K_2}$

■ Ponto de operação: $x_{\infty} = r \mid \sigma_{\infty} = -\frac{c\sqrt{x_{\infty}}}{K_2}$

■ Malha fechada linearizada em torno de α (Modelo estendido):

$$\begin{bmatrix} \dot{X}_{\delta} \\ \dot{\sigma}_{\delta} \end{bmatrix} = \begin{bmatrix} -\frac{K_1}{\beta(\alpha)} - \frac{1}{2} \cdot \frac{c}{\sqrt{\alpha} \cdot \beta(\alpha)} & -\frac{K_2}{\beta(\alpha)} \\ 1 & 0 \end{bmatrix} \cdot \begin{bmatrix} X_{\delta} \\ \sigma_{\delta} \end{bmatrix} + \begin{bmatrix} \frac{K_1}{\beta(\alpha)} \\ -1 \end{bmatrix} \cdot r_{\delta}$$

$$Y_{\delta} = \begin{bmatrix} 1 & 0 \end{bmatrix} \cdot \begin{bmatrix} X_{\delta} \\ \sigma_{\delta} \end{bmatrix}$$



Caso servo (ação integral)

- Desempenho da malha fechada (autovalores da equação característica):
Estabilidade:

$$\lambda^2 + \left(\frac{K_1}{\beta(\alpha)} + \frac{1}{2} \cdot \frac{c}{\sqrt{\alpha} \cdot \beta(\alpha)} \right) \cdot \lambda + \frac{K_2}{\beta(\alpha)} = 0$$

$$K_1 > -\frac{1}{2} \cdot \frac{c}{\sqrt{\alpha}} \quad , \quad K_2 > 0$$

Avale o retrato de fases, para diferentes valores de r : 1; 1,1; 1,3
(Qual ponto de equilíbrio?)



Caso servo (ação integral)

- Desempenho da malha fechada:

Comportamento desejado (caso regulador $\rightarrow r_\delta$ é fixo!):

$$\lambda^2 + \left(\frac{K_1}{\beta(\alpha)} + \frac{1}{2} \cdot \frac{c}{\sqrt{\alpha} \cdot \beta(\alpha)} \right) \cdot \lambda + \frac{K_2}{\beta(\alpha)} = 0$$

$$\lambda^2 + 2 \cdot \xi \cdot w_n \cdot \lambda + w_n^2 = 0$$

$$K_2 = w_n^2 \cdot \beta(\alpha) \quad , \quad K_1 \approx 2 \cdot \xi \cdot w_n \cdot \beta(\alpha)$$

- Malha fechada (função dos parâmetros de desempenho):

$$\begin{bmatrix} \dot{X}_\delta \\ \dot{\sigma}_\delta \end{bmatrix} = \begin{bmatrix} -2 \cdot \xi \cdot w_n - \frac{1}{2} \cdot \frac{c}{\sqrt{\alpha} \cdot \beta(\alpha)} & -w_n^2 \\ 1 & 0 \end{bmatrix} \cdot \begin{bmatrix} X_\delta \\ \sigma_\delta \end{bmatrix} + \begin{bmatrix} 2 \cdot \xi \cdot w_n \\ -1 \end{bmatrix} \cdot r_\delta$$

$$Y_\delta = \begin{bmatrix} 1 & 0 \end{bmatrix} \cdot \begin{bmatrix} X_\delta \\ \sigma_\delta \end{bmatrix}$$



Caso servo (ação integral)

- Avaliar o comportamento da variável de saída Y_δ , em função de variações da referência r_δ :

$$\frac{Y_\delta}{r_\delta} = \frac{2 \cdot \xi \cdot w_n \cdot s + w_n^2}{s^2 + \left(2 \cdot \xi w_n + \frac{c}{\sqrt{\alpha} \cdot \beta(\alpha)}\right) \cdot s + w_n^2} \quad (3)$$

$$\xi_{\text{fechada}} = \frac{\left(2 \cdot \xi w_n + \frac{c}{\sqrt{\alpha} \cdot \beta(\alpha)}\right)}{2 \cdot w_n}$$

- Os parâmetros de desempenho atendem ao caso regulador.
 - ▶ Há um zero no comportamento $\frac{Y_\delta}{r_\delta}$.
- É possível realizar uma nova sintonia de K_1 e K_2 (definir ξ e w_n) para atender a um desempenho desejado para o caso servo.



Exercício

- Compare o desempenho deste controlador com o de um controlador PI (Proporcional, Integral).



Sumário

1 Introdução

2 Controle por linearização

3 Controle por linearização - escalonamento de ganhos

4 *Feedback* linearizante

5 *Backstepping*



Introdução

- À medida em que r se afasta do ponto de linearização α (para o qual a sintonia fora realizada), o controlador perde desempenho.
- Cada ponto de operação ($x_\infty = r$), corresponde a um ponto de equilíbrio do sistema, α .
- Observe que, nos controladores de ganho fixo, K_1 e K_2 , são funções do valor de α .

$r \rightarrow$ variável de escalonamento



Caso servo

Voltando ao exemplo do tanque:

Ganhos do **controlador de ganho fixo projetado** anteriormente

$$K_2 = w_n^2 \cdot \beta(\alpha) \quad , \quad K_1 \approx 2 \cdot \xi \cdot w_n \cdot \beta(\alpha)$$

Aqui ($r = \alpha$).

$$K_2 = w_n^2 \cdot \beta(r) \quad , \quad K_1 \approx 2 \cdot \xi \cdot w_n \cdot \beta(r)$$

K_1 e K_2 são funções da variável de escalonamento, r

Assim, a lei de controle:

$$u = -K_1(r) \cdot (x - r) - K_2(r) \cdot \sigma$$



Caso servo

- Sistema em malha fechada:

$$\dot{x} = \frac{1}{\beta(x)} \cdot (-K_1(r) \cdot (x - r) - K_2(r) \cdot \sigma - c \cdot \sqrt{x}) \quad (4)$$

- Linearizar em torno da variável de escalonamento ($r = \alpha$):

$$\begin{aligned} \dot{x} &\approx \dot{x}|_{ss} + \frac{\partial \dot{x}}{\partial x} (x - x_{ss}) + \frac{\partial \dot{x}}{\partial \sigma} \cdot (\sigma - \sigma_{ss}) + \frac{\partial \dot{x}}{\partial r} \cdot (r - \alpha) & \frac{dK_1}{dr} &\neq 0 \\ \dot{\sigma} &\approx \dot{\sigma}|_{ss} + \frac{\partial \dot{\sigma}}{\partial x} (x - x_{ss}) + \frac{\partial \dot{\sigma}}{\partial r} (r - \alpha) & \frac{dK_2}{dr} &\neq 0 \end{aligned}$$

- Malha fechada linearizada em torno da variável de escalonamento:

$$\begin{aligned} \begin{bmatrix} \dot{X}_\delta \\ \dot{\sigma}_\delta \end{bmatrix} &= A(\alpha, \xi, w_n) \cdot \begin{bmatrix} X_\delta \\ \sigma_\delta \end{bmatrix} + B(\alpha, \xi, w_n) \cdot r_\delta \\ Y_\delta &= \begin{bmatrix} 1 & 0 \end{bmatrix} \cdot \begin{bmatrix} X_\delta \\ \sigma_\delta \end{bmatrix} \end{aligned}$$



Caso servo

- Malha fechada linearizada em torno da variável de escalonamento:

$$\begin{bmatrix} \dot{X}_\delta \\ \dot{\sigma}_\delta \end{bmatrix} = \begin{bmatrix} -2 \cdot \xi \cdot w_n - \frac{1}{2} \cdot \frac{c}{\sqrt{\alpha} \cdot \beta(\alpha)} & -w_n^2 \\ 1 & 0 \end{bmatrix} \cdot \begin{bmatrix} X_\delta \\ \sigma_\delta \end{bmatrix} + \begin{bmatrix} 2 \cdot \xi \cdot w_n + \gamma(\alpha) \\ -1 \end{bmatrix} \cdot r_\delta$$

$$Y_\delta = \begin{bmatrix} 1 & 0 \end{bmatrix} \cdot \begin{bmatrix} X_\delta \\ \sigma_\delta \end{bmatrix}$$

Ganho Escalonado:

$$\frac{Y_\delta}{r_\delta} = \frac{(2 \cdot \xi \cdot w_n + \gamma(\alpha)) \cdot s + w_n^2}{s^2 + \left(2 \cdot \xi w_n + \frac{c}{\sqrt{\alpha} \cdot \beta(\alpha)}\right) \cdot s + w_n^2}$$

Ganho Fixo:

$$\frac{Y_\delta}{r_\delta} = \frac{2 \cdot \xi \cdot w_n \cdot s + w_n^2}{s^2 + \left(2 \cdot \xi w_n + \frac{c}{\sqrt{\alpha} \cdot \beta(\alpha)}\right) \cdot s + w_n^2}$$

- Se apenas regulação é importante, o escalonamento de ganhos neste formato é aceitável.
- Desempenhos são diferentes! → EFEITO DA MODIFICAÇÃO ZERO



Caso servo: lei de controle modificada

- $\gamma(\alpha)$ se origina de $\frac{dK_2}{dr} \rightarrow$ Lei de controle:
$$\begin{cases} u = -K_1 \cdot (x - r) - \eta \\ \dot{\eta} = -K_2 \cdot (x - r) \end{cases}$$
- Malha fechada linearizada em torno da variável de escalonamento:

$$\begin{bmatrix} \dot{X}_\delta \\ \dot{\eta}_\delta \end{bmatrix} = \begin{bmatrix} -2 \cdot \xi \cdot w_n - \frac{1}{2} \cdot \frac{c}{\sqrt{\alpha} \cdot \beta(\alpha)} & \frac{1}{\beta(\alpha)} \\ -w_n^2 \cdot \beta(\alpha) & 0 \end{bmatrix} \cdot \begin{bmatrix} X_\delta \\ \eta_\delta \end{bmatrix} + \begin{bmatrix} 2 \cdot \xi \cdot w_n \\ w_n^2 \cdot \beta(\alpha) \end{bmatrix} \cdot r_\delta$$

$$Y_\delta = \begin{bmatrix} 1 & 0 \end{bmatrix} \cdot \begin{bmatrix} X_\delta \\ \eta_\delta \end{bmatrix}$$

Gain Scheduled:

$$\frac{Y_\delta}{r_\delta} = \frac{(2 \cdot \xi \cdot w_n) \cdot s + w_n^2}{s^2 + \left(2 \cdot \xi w_n + \frac{c}{\sqrt{\alpha} \cdot \beta(\alpha)}\right) \cdot s + w_n^2}$$

Ganho Fixo:

$$\frac{Y_\delta}{r_\delta} = \frac{2 \cdot \xi \cdot w_n \cdot s + w_n^2}{s^2 + \left(2 \cdot \xi w_n + \frac{c}{\sqrt{\alpha} \cdot \beta(\alpha)}\right) \cdot s + w_n^2}$$

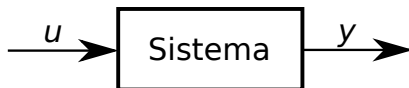


Procedimento para projeto de controlador por escalonamento de ganhos

- 1 Linearize o sistema (não-linear) em relação a uma família de pontos de equilíbrio - parametrizado por variáveis de escalonamento.
 - 2 Usando linearização, projete uma família de controladores lineares para alcançar o desempenho esperado em cada ponto de operação.
 - 3 Construa um controlador por escalonamento de ganho, tal que:
 - ▶ Para cada valor constante da variável exógena, a malha fechada tem o mesmo comportamento do controlador de ganho fixo.
 - ▶ A linearização da malha fechada é equivalente a linearização do sistema a ganho fixo.
 - 4 Verifique o desempenho da malha fechada do controlador por escalonamento de ganho, através de simulação não-linear.
- A garantia de estabilidade é local.
 - Mudanças na variável escalonada devem ser limitadas.



Inclusão de observador



Modelo esperado do sistema:

$$\dot{x}_1 = \tan(x_1) + x_2$$

$$\dot{x}_2 = x_1 + u$$

$$y = x_2$$

$$y_m = h_m(x, w)$$

- Lei de controle
$$\begin{cases} u = -K_1 \cdot \hat{x} - K_2 \cdot \sigma \\ \dot{\sigma} = y - r \end{cases}$$

- Observador:
$$\dot{\hat{x}} = A(\alpha) \cdot \hat{x} + B \cdot u + H(\alpha) \cdot (y_m - C \cdot \hat{x})$$

- $r(= \alpha)$ como variável de escalonamento.

- Como projetar uma estratégia de controle?

- Inclusão de observador.



Inclusão de observador

- De maneira geral:

$$\begin{cases} \dot{x} = f_1(x, u, \alpha) \rightarrow A(\alpha) \cdot x + B(\alpha) \cdot u \\ \dot{z} = f_2(z, u, y, x, \alpha) \rightarrow A(\alpha) \cdot z + B(\alpha) \cdot u + H(\alpha) \cdot (y_m - C_m \cdot z) \\ \dot{\sigma} = y - r \end{cases}$$

$$u = L(\alpha) \cdot z + M_1(\alpha) \cdot \sigma + M_2(\alpha) \cdot y_m + M_3(\alpha) \cdot e$$

- Malha fechada (Avaliar estabilidade - sem r):

$$\begin{cases} \dot{x} = [A + B \cdot M_2 \cdot C_m + B \cdot M_3 \cdot C] \cdot x + B \cdot M_1 \cdot \sigma + B \cdot L \cdot z \\ \dot{\sigma} = y - r \\ \dot{z} = F \cdot z + G_1 \cdot \sigma + G_2 \cdot y_m \end{cases}$$

$$u = L \cdot z + M_1 \cdot \sigma + M_2 \cdot y_m + M_3 \cdot e$$

$$\begin{bmatrix} \dot{x} \\ \dot{\sigma} \\ \dot{z} \end{bmatrix} = \begin{bmatrix} A + B \cdot M_2 \cdot C_m + B \cdot M_3 \cdot C & B \cdot M_1 & B \cdot L \\ C & 0 & 0 \\ G_2 \cdot C_m & G_1 & F \end{bmatrix} \cdot \begin{bmatrix} x \\ \sigma \\ z \end{bmatrix}$$



Inclusão de observador

- Aplique a transformada da Laplace:

$$Z(s) = [s \cdot I - F(\alpha)]^{-1} \cdot G_1(\alpha) \cdot \sigma(s) + [s \cdot I - F(\alpha)]^{-1} \cdot G_2(\alpha) \cdot y_m$$

$$\begin{aligned} U(s) = & \left\{ F(\alpha) \cdot [s \cdot I - F(\alpha)]^{-1} \cdot G_1(\alpha) + M_1(\alpha) \right\} \cdot \sigma(s) + \\ & + \left\{ F(\alpha) \cdot [s \cdot I - F(\alpha)]^{-1} \cdot G_2(\alpha) + M_2(\alpha) \right\} \cdot y_m(s) + \\ & + M_3 \cdot e(s) \end{aligned}$$

$$U(s) = \left\{ L(\alpha) \cdot [s \cdot I - F(\alpha)]^{-1} \cdot G(\alpha) + M(\alpha) \right\} \cdot \begin{bmatrix} \sigma(s) \\ y_m \end{bmatrix} + M_3 \cdot e(s)$$

Observe aqui que os ganhos do controlador e do observador estarão escalonados!



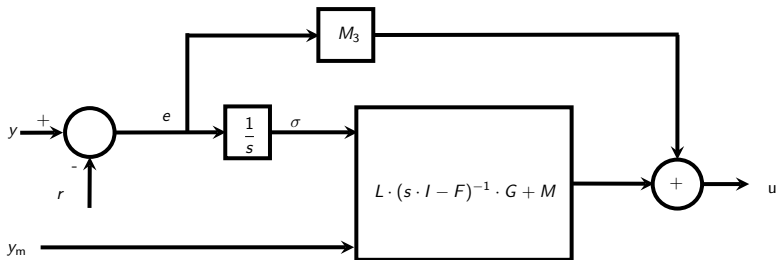
Procedimento para projeto de controlador por escalonamento de ganhos com observador

Como projetar?

- Projete o observador e obtenha $H(\alpha)$, função da variável de escalonamento. Defina critério de desempenho para os ganhos do observador.
- Como no caso anterior, projete o controlador pra ganho fixo. Relacione os ganhos com a variável de escalonamento.
- Obtenha as matrizes L , M , F , G (malha fechada)



Projeto de controlador por escalonamento de ganhos com observador



Exemplo do projeto

Voltando ao exemplo:

- Projeto do observador:
Sistema linearizado:

$$\begin{bmatrix} \dot{x}_1 \\ \dot{x}_2 \end{bmatrix} = \begin{bmatrix} 1 + \alpha^2 & 1 \\ 1 & 0 \end{bmatrix} \cdot \begin{bmatrix} x_1 \\ x_2 \end{bmatrix} + \begin{bmatrix} 0 \\ 1 \end{bmatrix} \cdot u$$

$$\dot{\hat{x}} = A \cdot \hat{x} + B \cdot u + H \cdot (y_m - C \cdot \hat{x}) = (A - H \cdot C) \cdot \hat{x} + B \cdot u + H \cdot y$$

Equação característica:

$$\lambda^2 + (h_2 - 1 - \alpha^2) \cdot \lambda - (1 + \alpha^2) \cdot h_2 + h_1 - 1 = 0$$

$$\text{Alocação de pólos: } \lambda = -\frac{3}{2} \pm j \cdot \frac{3\sqrt{3}}{2}$$

$$\begin{aligned} h_1 &= 10 + 4 \cdot (1 + \alpha^2) \cdot (4 + \alpha^2) \\ h_2 &= 4 + \alpha^2 \end{aligned}$$



Exemplo do projeto

Voltando ao exemplo:

■ Projeto do controlador:

$$\text{Lei de controle: } \begin{cases} u = -K_1 \cdot \hat{x} - K_2 \cdot \sigma \\ \dot{\sigma} = y - r \end{cases}$$

Considere, para o projeto, que $\hat{x} = x$.

Malha fechada:

$$\dot{x}_1 = \tan(x_1) + x_2$$

$$\dot{x}_2 = x_1 - k_{11} \cdot x_1 - k_{12} \cdot x_2 - k_2 \cdot \sigma$$

$$\dot{\sigma} = x_2 - r$$

Linearização:

$$\begin{bmatrix} \dot{x}_1 \\ \dot{x}_2 \\ \dot{\sigma} \end{bmatrix} = \begin{bmatrix} 1 + \alpha^2 & 1 & 0 \\ 1 - k_{11} & -k_{12} & -k_2 \\ 0 & 1 & 0 \end{bmatrix} \cdot \begin{bmatrix} x_1 \\ x_2 \\ \sigma \end{bmatrix} + \begin{bmatrix} 0 \\ 0 \\ -1 \end{bmatrix} \cdot r$$



Exemplo do projeto

Voltando ao exemplo:

- Projeto do controlador:

Equação característica:

$$\lambda^3 + (k_{12} - 1 - \alpha^2) \cdot \lambda^2 + (-(1 + \alpha^2) \cdot k_{12} + k_2 + k_{11} - 1) \cdot \lambda - (1 + \alpha^2) \cdot k_2 = 0$$

$$k_{11} = 3 + (1 + \alpha^2) \cdot (3 + \alpha^2) + \frac{1}{1 + \alpha^2}$$

$$k_{12} = 3 + \alpha^2$$

$$k_2 = -\frac{1}{1 + \alpha^2}$$

Como implementar?



Lei de controle modificada

- Por questões de desempenho precisa-se fazer uma alteração na lei de controle (**quando for implementado**).

Lei de controle original:

$$\begin{cases} \dot{z} = F \cdot z + G_1 \cdot \sigma + G_2 \cdot y_m \\ \dot{\sigma} = y - r \\ u = L \cdot z + M_1 \cdot \sigma + M_2 \cdot y_m + M_3(\alpha) \cdot e \end{cases}$$

Estrutura modificada:

$$\psi = \begin{bmatrix} e \\ \dot{y}_m \end{bmatrix}$$

$$\begin{cases} \dot{z} = F \cdot z + \begin{bmatrix} G_1 & G_2 \end{bmatrix} \cdot \psi \\ \dot{\eta} = L(\alpha) \cdot z + \begin{bmatrix} M_1 & M_2 \end{bmatrix} \psi \\ u = \eta + M_3 \cdot e \end{cases}$$

$$\begin{cases} \dot{\xi} = 1/\epsilon \cdot (-\xi + y_m) \\ \dot{\vartheta} = 1/\epsilon \cdot (-\xi + y_m) \end{cases}$$

$$\vartheta(s) = y_m \cdot \left(\frac{s}{\epsilon \cdot s + 1} \right) \approx s \cdot y_m \approx \dot{y}_m$$



Lei de controle modificada

$$\begin{cases} \dot{z} = F \cdot z + G \cdot \psi \\ \dot{\eta} = L \cdot z + M \cdot \psi \\ u = \eta + M_3 \cdot e \end{cases} \quad \psi = \begin{bmatrix} e \\ \dot{y}_m \end{bmatrix}$$

Aplicar a transformada de Laplace:

$$Z(s) = (s \cdot I - F)^{-1} \cdot G \cdot \psi(s)$$

$$\eta(s) = \frac{1}{s} \cdot (L \cdot (s \cdot I - F)^{-1} \cdot G + M) \cdot \psi(s)$$

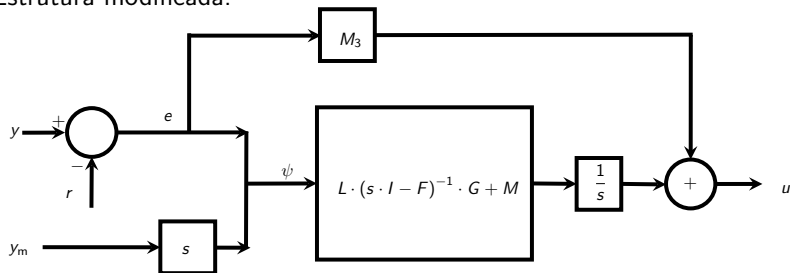
$$u(s) = \frac{1}{s} \cdot (L \cdot (s \cdot I - F)^{-1} \cdot G + M) \cdot \psi(s) + M_3 \cdot e(s)$$

$$u(s) = \frac{1}{s} \cdot (L \cdot (s \cdot I - F)^{-1} \cdot G + M) \cdot \begin{bmatrix} e(s) \\ s \cdot y_m(s) \end{bmatrix} + M_3 \cdot e(s)$$



Lei de controle modificada

Estrutura modificada:



Exemplo do projeto

Voltando ao exemplo:

- Identificar as matrizes do formato “padrão”.

Forma padrão:

$$\begin{cases} \dot{\sigma} = y - r \\ \dot{z} = F \cdot z + G_1 \cdot \sigma + G_2 \cdot y_m \\ u = L \cdot z + M_1 \cdot \sigma + M_2 \cdot y_m + M_3 \cdot e \end{cases}$$

Controle:

$$L = -K_1$$

$$M = [-K_2 \quad 0]$$

$$M_3 = 0$$

- Implementação: alterar o fluxo de sinais.

Forma implementada:

$$\begin{cases} \dot{\sigma} = y - r \\ \dot{\hat{x}} = A \cdot \hat{x} + B \cdot u + H \cdot (y_m - C \cdot \hat{x}) \\ u = -K_1 \cdot \hat{x} - K_2 \cdot \sigma \end{cases}$$

Observador:

$$F = A - H \cdot C - B \cdot K_1$$

$$G = [-B \cdot K_2 \quad H]$$



Sumário

1 Introdução

2 Controle por linearização

3 Controle por linearização - escalonamento de ganhos

4 *Feedback linearizante*

5 *Backstepping*



Introdução

Considere novamente o tanque com área variável:

$$\dot{x} = \frac{1}{\beta(x)} \cdot (u - c \cdot \sqrt{x}) \quad (5)$$

Proponham uma lei de controle tal que a malha fechada seja linear:

$$\begin{aligned} \dot{x} &= \frac{1}{\beta(x)} \cdot (u - c \cdot \sqrt{x}) \\ u &= c \cdot \sqrt{x} - \beta(x) \cdot K \cdot x \\ \dot{x} &= -K \cdot x \end{aligned} \quad (6)$$

Quais as condições para estabilidade da malha fechada?

- A malha fechada agora é linear \rightarrow Devido a implementação de uma lei de controle *feedback* \rightarrow **feedback linearizante**.



Estrutura do modelo

$$\dot{x} = A \cdot x + B \cdot \gamma(x) [u - a(x)]$$

$$\begin{aligned} \text{Feedback de estado: } u &= a(x) + \gamma(x)^{-1} \cdot \nu \\ \nu &= -K \cdot x \end{aligned} \tag{7}$$

Malha fechada: $\dot{x} = (A - B \cdot K) \cdot x$

$(A - B \cdot K)$ precisa ser estável \rightarrow matriz Hurwitz

Cancelamento de não linearidades



Introdução

Considere o modelo:

$$\begin{aligned}\dot{x}_1 &= a \cdot \sin(x_2) \\ \dot{x}_2 &= -x_1^2 + u\end{aligned} \quad \begin{bmatrix} \dot{x}_1 \\ \dot{x}_2 \end{bmatrix} = \begin{bmatrix} a \cdot \sin(x_2) \\ -x_1^2 \end{bmatrix} + \begin{bmatrix} 0 \\ 1 \end{bmatrix} \cdot u$$

$\dot{\mathbf{x}} = \mathbf{f}(\mathbf{x}) + \mathbf{g}(\mathbf{x}) \cdot u$
 $\mathbf{f}(\mathbf{x})$ e $\mathbf{g}(\mathbf{x}) \rightarrow$ campos vetoriais.

É possível propor uma lei de controle por *feedback* linearizante?

Aplicar uma transformação no Espaço de Estados:

$$\begin{aligned}z_1 &= x_1 & \dot{z}_1 &= \dot{x}_1 = a \cdot \sin(x_2) \\ z_2 &= a \cdot \sin(x_2) & \dot{z}_2 &= a \cdot \cos(x_2) \cdot \dot{x}_2 = a \cdot \cos(x_2) \cdot (-x_1^2 + u)\end{aligned}$$

$$\begin{aligned}x_1 &= z_1 & \dot{z}_1 &= z_2 \\ x_2 &= \arcsen(z_2/a) & \dot{z}_2 &= a \cdot \cos(\arcsen(z_2/a)) \cdot (-z_1^2 + u)\end{aligned}$$

Forma padrão para aplicar o *feedback* linearizante:

$$\begin{bmatrix} \dot{z}_1 \\ \dot{z}_2 \end{bmatrix} = \begin{bmatrix} 0 & 1 \\ 0 & 0 \end{bmatrix} \cdot \begin{bmatrix} z_1 \\ z_2 \end{bmatrix} + \begin{bmatrix} 0 \\ 1 \end{bmatrix} \cdot a \cdot \cos(\arcsen(z_2/a)) \cdot (u - z_1^2)$$



Introdução

Sistema original:

$$\dot{x}_1 = a \cdot \sin(x_2)$$

$$\dot{x}_2 = -x_1^2 + u$$

Novo espaço de estados:

$$\begin{bmatrix} \dot{z}_1 \\ \dot{z}_2 \end{bmatrix} = \begin{bmatrix} 0 & 1 \\ 0 & 0 \end{bmatrix} \cdot \begin{bmatrix} z_1 \\ z_2 \end{bmatrix} + \begin{bmatrix} 0 \\ 1 \end{bmatrix} \cdot a \cdot \cos(\arcsen(z_2/a)) \cdot (u - z_1^2)$$

Transformação realizada no espaço de estados:

$$z_1 = x_1$$

$$x_1 = z_1$$

$$z_2 = a \cdot \sin(x_2)$$

$$x_2 = \arcsen(z_2/a)$$

$$-a < z_2 < a$$

$$-\pi/2 < x_2 < \pi/2$$

$$\text{Lei de controle feedback: } u = z_1^2 + \frac{1}{a \cdot \cos(\arcsen(z_2/a))} \cdot [-K_1 \cdot z_1 - K_2 \cdot z_2]$$

$$\text{Lei de controle feedback: } u = x_1^2 + \frac{1}{a \cdot \cos(x_2)} \cdot [-K_1 \cdot x_1 - K_2 \cdot a \cdot \sin(x_2)]$$



Introdução

Sistema original (malha fechada):

$$\dot{x}_1 = a \cdot \sin(x_2)$$

$$\dot{x}_2 = \frac{1}{a \cdot \cos(x_2)} \cdot [-K_1 \cdot x_1 - K_2 \cdot a \cdot \sin(x_2)]$$

Novo espaço de estados (malha fechada):

$$\begin{aligned} \dot{z}_1 &= z_2 \\ \dot{z}_2 &= -K_1 \cdot z_1 - K_2 \cdot z_2 \end{aligned} \quad \begin{bmatrix} \dot{z}_1 \\ \dot{z}_2 \end{bmatrix} = \begin{bmatrix} 0 & 1 \\ 0 & 0 \end{bmatrix} \cdot \begin{bmatrix} z_1 \\ z_2 \end{bmatrix} - \begin{bmatrix} 0 \\ 1 \end{bmatrix} \cdot [K_1 \quad K_2] \cdot \begin{bmatrix} z_1 \\ z_2 \end{bmatrix}$$

$$\begin{bmatrix} \dot{z}_1 \\ \dot{z}_2 \end{bmatrix} = \left(\begin{bmatrix} 0 & 1 \\ 0 & 0 \end{bmatrix} - \begin{bmatrix} 0 & 0 \\ K_1 & K_2 \end{bmatrix} \right) \cdot \begin{bmatrix} z_1 \\ z_2 \end{bmatrix}$$

$$\begin{bmatrix} \dot{z}_1 \\ \dot{z}_2 \end{bmatrix} = \begin{bmatrix} 0 & 1 \\ -K_1 & -K_2 \end{bmatrix} \cdot \begin{bmatrix} z_1 \\ z_2 \end{bmatrix}$$

Equação característica: $\lambda^2 + K_2 \cdot \lambda + K_1 = 0$



Exercício

- Avaliar o retrato de fases do sistema em x , com e sem a lei de controle proposta.
- Implementar o controlador e avaliar as condições nas quais o sistema converge para a origem.



Definição: difeomorfismo

Definição

Uma função $T : \mathbb{R}^n \rightarrow \mathbb{R}^n$, definida na região Ω , é chamada **difeomorfismo** se ela é suave, e sua inversa, T^{-1} existe e é suave.

Exemplo:

$$\begin{cases} z_1 = x_1 \\ z_2 = a \cdot \sin(x_2) \\ z = T(x) \end{cases} \quad \begin{cases} x_1 = z_1 \\ x_2 = \arcsen(z_2/a) \\ x = T^{-1}(z) \end{cases} \quad \Omega = \begin{cases} -a < z_2 < a \\ -\pi/2 < x_2 < \pi/2 \end{cases}$$

Lema

Seja $T(x)$ uma função suave definida na região Ω em \mathbb{R}^n . Se a matriz jacobiana $\nabla T(x)$ é não singular em um ponto $x = x_0$ de Ω , então $T(x)$ define um **difeomorfismo local** sobre a região Ω .

Uso

Transformar um sistema não linear em outro sistema não linear, com um novo conjunto de estados.



Definição: linearização por *feedback*

Definição

Um sistema não linear $\dot{\mathbf{x}} = \mathbf{f}(\mathbf{x}) + \mathbf{g}(\mathbf{x}) \cdot u$ é dito linearizável por *feedback* (ou entrada-estado linearizável) se existe um **difeomorfismo** $T : D \rightarrow R^n$ tal que $D_z = T(D)$ **contenha a origem** e a mudança de variáveis $\mathbf{z} = T(\mathbf{x})$ transforma o sistema para a forma:

$$\dot{\mathbf{z}} = \mathbf{A} \cdot \mathbf{z} + \mathbf{B} \cdot \gamma(\mathbf{x}) \cdot [u - \alpha(\mathbf{x})] \quad (8)$$

em que \mathbf{A} e \mathbf{B} são controláveis e $\gamma(\mathbf{x})$ é não singular.

Lei de controle: $u = \alpha(\mathbf{x}) + \gamma^{-1}(\mathbf{x}) \cdot \nu$

Malha fechada: $\dot{\mathbf{z}} = (\mathbf{A} + \mathbf{B} \cdot \nu) \cdot \mathbf{z}$

$\mathbf{f}(\mathbf{x})$ e $\mathbf{g}(\mathbf{x}) \rightarrow$ campos vetoriais.

Observação:

$$\nu(\mathbf{z}) = -\mathbf{K} \cdot \mathbf{z}$$

$$\nu(\mathbf{x}) = -\mathbf{K} \cdot T^{-1}(\mathbf{z})$$

CASO REGULADOR



Contextualização

Como definir, então, $T(x)$?

- Linearização entrada-saída
- Linearização total dos estados



Linearização entrada-saída

Considere:

$$\begin{cases} \dot{\mathbf{x}} = \mathbf{f}(\mathbf{x}) + \mathbf{g}(\mathbf{x}) \cdot u \\ y = h(\mathbf{x}) \end{cases} \quad \begin{cases} \mathbf{f} : D \rightarrow \mathbb{R}^n \\ \mathbf{g} : D \rightarrow \mathbb{R}^n \end{cases} \rightarrow \text{Campo de vetores}$$

Como a ação de controle influencia a saída?

$$\begin{aligned} \frac{dy}{dt} &= \frac{\partial h}{\partial \mathbf{x}} \cdot \frac{\partial \mathbf{x}}{\partial t} \\ \frac{dy}{dt} &= \frac{\partial h}{\partial \mathbf{x}} \cdot [\mathbf{f}(\mathbf{x}) + \mathbf{g}(\mathbf{x}) \cdot u] \\ \frac{dy}{dt} &= \frac{\partial h}{\partial \mathbf{x}} \cdot \mathbf{f}(\mathbf{x}) + \frac{\partial h}{\partial \mathbf{x}} \cdot \mathbf{g}(\mathbf{x}) \cdot u \end{aligned}$$

$\frac{\partial h}{\partial \mathbf{x}} \cdot \mathbf{f}(\mathbf{x}) \rightarrow$ Derivada de h ao longo da trajetória \mathbf{f} .

$$\frac{\partial h}{\partial \mathbf{x}} \cdot \mathbf{f}(\mathbf{x}) \rightarrow L_{\mathbf{f}}h$$

$\frac{\partial h}{\partial \mathbf{x}} \cdot \mathbf{g}(\mathbf{x}) \rightarrow$ Derivada de h ao longo da trajetória \mathbf{g} .

$$\frac{\partial h}{\partial \mathbf{x}} \cdot \mathbf{g}(\mathbf{x}) \rightarrow L_{\mathbf{g}}h$$



Definição: Derivada de Lie

Definição

Seja $h : \mathbb{R}^n \rightarrow \mathbb{R}$ uma função escalar, e $\mathbf{f} : \mathbb{R}^n \rightarrow \mathbb{R}^n$ um campo vetorial suave em \mathbb{R}^n , então a **derivada de Lie de h em relação a \mathbf{f}** é uma função escalar definida por:

$$L_{\mathbf{f}}h = \nabla h \cdot \mathbf{f}$$

$L_{\mathbf{f}}h \rightarrow$ Derivada direcional de h ao longo da trajetória do campo vetorial \mathbf{f} .

Exemplos:

$$\blacksquare L_{\mathbf{g}}L_{\mathbf{f}}h = \nabla L_{\mathbf{f}}h \cdot \mathbf{g} = \frac{\partial L_{\mathbf{f}}h}{\partial \mathbf{x}} \cdot \mathbf{g}$$

$$\blacksquare L_{\mathbf{f}}^2h = L_{\mathbf{f}}L_{\mathbf{f}}h = \frac{\partial L_{\mathbf{f}}h}{\partial \mathbf{x}} \cdot \mathbf{f}$$

$$\blacksquare L_{\mathbf{f}}^k h = L_{\mathbf{f}}L_{\mathbf{f}}^{k-1}h = \frac{\partial L_{\mathbf{f}}^{k-1}h}{\partial \mathbf{x}} \cdot \mathbf{f}$$

$$\blacksquare L_{\mathbf{f}}^0 h = h$$



Exemplo: Equação de Van der Pool

$$\dot{x}_1 = x_2$$

$$\dot{x}_2 = -x_1 + \epsilon \cdot (1 - x_1^2) \cdot x_2 + u$$

Caso 1:

$$y = h(x) = x_1 + 0 \cdot x_2$$

$$\dot{y} = \frac{\partial h}{\partial \mathbf{x}} \cdot \begin{bmatrix} \dot{x}_1 \\ \dot{x}_2 \end{bmatrix} = \begin{bmatrix} 1 & 0 \end{bmatrix} \cdot (\mathbf{f}(x) + \mathbf{g}(x) \cdot u)$$

$$\dot{y} = \underbrace{x_2}_{L_f h} + \underbrace{0}_{L_g h} \cdot u$$

$$\ddot{y} = \frac{\partial L_f h}{\partial \mathbf{x}} \cdot \begin{bmatrix} \dot{x}_1 \\ \dot{x}_2 \end{bmatrix} = \begin{bmatrix} 0 & 1 \end{bmatrix} \cdot (\mathbf{f}(x) + \mathbf{g}(x) \cdot u)$$

$$\ddot{y} = \underbrace{-x_1 + \epsilon \cdot (1 - x_1^2) \cdot x_2}_{L_f^2 h} + \underbrace{1}_{L_g L_f h} \cdot u$$

$$\begin{bmatrix} \dot{x}_1 \\ \dot{x}_2 \end{bmatrix} = \underbrace{\begin{bmatrix} x_2 \\ -x_1 + \epsilon \cdot (1 - x_1^2) \cdot x_2 \end{bmatrix}}_{\mathbf{f}(x)} + \underbrace{\begin{bmatrix} 0 \\ 1 \end{bmatrix}}_{\mathbf{g}(x)} \cdot u$$

Caso 2:

$$y = h(x) = 0 \cdot x_1 + 1 \cdot x_2$$

$$\dot{y} = \dot{x}_2$$

$$\dot{y} = \underbrace{-x_1 + \epsilon \cdot (1 - x_1^2) \cdot x_2}_{L_f h} + \underbrace{1}_{L_g h} \cdot u$$



Exemplo: Equação de Van der Pool

Caso 1:

Considere, então, um novo espaço de estados: $\xi = \begin{bmatrix} y \\ \dot{y} \end{bmatrix}$

$$\dot{\xi} = \begin{bmatrix} \dot{y} \\ \ddot{y} \end{bmatrix} = \begin{bmatrix} 0 & 1 \\ 0 & 0 \end{bmatrix} \cdot \xi + \begin{bmatrix} 0 \\ 1 \end{bmatrix} \cdot \left(\underbrace{1}_{L_g h} \cdot u - \underbrace{x_1 + \epsilon \cdot (1 - x_1^2) \cdot x_2}_{L_f h} \right)$$

$$\xi = T(x) = \begin{bmatrix} y \\ \dot{y} \end{bmatrix} = \begin{bmatrix} x_1 \\ x_2 \end{bmatrix}$$

$$x = T^{-1}(\xi) = \begin{bmatrix} \xi_1 \\ \xi_2 \end{bmatrix}$$

- $T(x)$ é difeomorfismo
- D_ξ contém a origem
- Em ξ , a origem é ponto de equilíbrio

- Lei de controle: $u = x_1 - \epsilon \cdot (1 - x_1^2) \cdot x_2 - K \cdot \xi$
- Lei de controle: $u = x_1 - \epsilon \cdot (1 - x_1^2) \cdot x_2 - K \cdot x$



Exemplo: Equação de Van der Pool

- Avaliar o retrato de fases do sistema com a lei de controle proposta.
- Implementar o controlador e avaliar as condições nas quais o sistema converge para a origem.



Linearização entrada-saída

Considere:

$$\begin{cases} \dot{\mathbf{x}} = \mathbf{f}(\mathbf{x}) + \mathbf{g}(\mathbf{x}) \cdot u \\ y = h(\mathbf{x}) \end{cases} \quad \begin{cases} \mathbf{f} : D \rightarrow \mathbb{R}^n \\ \mathbf{g} : D \rightarrow \mathbb{R}^n \end{cases} \rightarrow \text{Campo de vetores}$$

Como a ação de controle influencia a saída?

$$\frac{dy}{dt} = \frac{\partial h}{\partial \mathbf{x}} \cdot \mathbf{f}(\mathbf{x}) + \frac{\partial h}{\partial \mathbf{x}} \cdot \mathbf{g}(\mathbf{x}) \cdot u$$

$$\frac{dy}{dt} = L_{\mathbf{f}}h + L_{\mathbf{g}}h \cdot u \quad L_{\mathbf{g}}h = 0$$

$$\frac{d^2y}{dt^2} = \frac{dL_{\mathbf{f}}h}{d\mathbf{x}} \cdot \frac{d\mathbf{x}}{dt} = \frac{dL_{\mathbf{f}}h}{d\mathbf{x}} \cdot (\mathbf{f}(\mathbf{x}) + \mathbf{g}(\mathbf{x}) \cdot u)$$

$$\frac{d^2y}{dt^2} = L_{\mathbf{f}}L_{\mathbf{f}}h + L_{\mathbf{g}}L_{\mathbf{f}}h \cdot u = L_{\mathbf{f}}^2h + L_{\mathbf{g}}L_{\mathbf{f}}h \cdot u \quad L_{\mathbf{g}}L_{\mathbf{f}}h = 0$$

\vdots

\vdots

$$\frac{d^{\rho}y}{dt^{\rho}} = L_{\mathbf{f}}^{\rho}h + L_{\mathbf{g}}L_{\mathbf{f}}^{\rho-1}h \cdot u \quad L_{\mathbf{g}}L_{\mathbf{f}}^{\rho-1}h \neq 0$$



Linearização entrada-saída

Considere, então, o seguinte **vetor de estados**:

$$\xi = \begin{bmatrix} y \\ \dot{y} \\ \ddot{y} \\ \vdots \\ y^{(\rho-1)} \end{bmatrix} = \begin{bmatrix} h(x) \\ L_f h(x) \\ L_f^2 h \\ \vdots \\ L_f^{\rho-1} h \end{bmatrix} \rightarrow \dot{\xi} = \begin{bmatrix} \dot{y} \\ \ddot{y} \\ y^{(3)} \\ \vdots \\ y^{(\rho)} \end{bmatrix} = \begin{bmatrix} L_f h(x) \\ L_f^2 h \\ L_f^3 h \\ \vdots \\ L_f^\rho h + L_g L_f^{\rho-1} h \cdot u \end{bmatrix}$$

$$\dot{\xi} = \begin{bmatrix} \dot{y} \\ \ddot{y} \\ y^{(3)} \\ \vdots \\ y^{(\rho)} \end{bmatrix} = \underbrace{\begin{bmatrix} 0 & 1 & 0 & \dots & 0 \\ 0 & 0 & 1 & \dots & 0 \\ 0 & 0 & 0 & \dots & 0 \\ \vdots & \vdots & \vdots & \ddots & \vdots \\ 0 & 0 & 0 & \dots & 0 \end{bmatrix}}_{\text{cadeia de integradores}} \cdot \begin{bmatrix} y \\ \dot{y} \\ \ddot{y} \\ \vdots \\ y^{(\rho-1)} \end{bmatrix} + \begin{bmatrix} 0 \\ 0 \\ 0 \\ \vdots \\ 1 \end{bmatrix} \cdot (L_g L_f^{\rho-1} h \cdot u + L_f^\rho h)$$

$$\dot{\xi} = \mathbf{A}_c \cdot \xi + \mathbf{B}_c \cdot L_g L_f^{\rho-1} h \cdot \left(u + \frac{L_f^\rho h}{L_g L_f^{\rho-1} h} \right)$$



Linearização entrada-saída

$$\dot{\xi} = \mathbf{A}_c \cdot \xi + \mathbf{B}_c \cdot L_g L_f^{\rho-1} h \cdot \left(u + \frac{L_f^\rho h}{L_g L_f^{\rho-1} h} \right)$$

Está no formato que permite aplicar *feedback* linearizante.

Lei de controle:

$$u = \frac{1}{L_g L_f^{\rho-1} h} \cdot (-L_f^\rho h + \nu)$$

Definição: grau relativo do sistema

Um sistema é dito ter **grau relativo** ρ , $1 \leq \rho \leq n$, em uma região $D_0 \subset D$, se:

$$\begin{cases} L_g L_f^j h = 0, j = 0, 2, \dots, \rho - 2 \\ L_g L_f^{\rho-1} h \neq 0 \end{cases}, \text{ para todo } x \in D_0$$



Linearização entrada-saída

- Nesta transformação, $\xi = T^*(x)$, parte da dinâmica do processo **pode** ser perdida.
- $T^* : \mathbb{R}^n \rightarrow \mathbb{R}^\rho \rightarrow$ Só poderá ser difeomorfismo se $n = \rho$.
- Observe que o grau relativo ρ pode ser inferior ao número de estados originais do sistema n ($\rho < n$). Então existem $n - \rho$ estados que precisam ser adicionados à este “novo” espaço.

Definição

Uma função $T : \mathbb{R}^n \rightarrow \mathbb{R}^n$, definida na região Ω , é chamada **difeomorfismo** se ela é suave, e sua inversa, T^{-1} existe e é suave.

Como adicionar então, os estados que faltam?



Linearização entrada-saída

$$\mathbf{z} = T(\mathbf{x}) = \begin{bmatrix} \phi_1(\mathbf{x}) \\ \vdots \\ \frac{\phi_{n-\rho}(\mathbf{x})}{y} \\ y \\ \dot{y} \\ \vdots \\ y^{(\rho-1)} \end{bmatrix} = \begin{bmatrix} \phi_1(\mathbf{x}) \\ \vdots \\ \frac{\phi_{n-\rho}(\mathbf{x})}{h(\mathbf{x})} \\ L_f h(\mathbf{x}) \\ L_f^2 h \\ \vdots \\ L_f^{\rho-1} h \end{bmatrix} = \begin{bmatrix} \phi \\ \xi \end{bmatrix}$$

$$\dot{\mathbf{z}} = \begin{bmatrix} \dot{\phi} \\ \dot{\xi} \end{bmatrix}$$

Impor que $\dot{\phi}(\mathbf{x})$ não depende diretamente da entrada u .

$$\dot{\phi}(\mathbf{x}) = \frac{\partial \phi}{\partial \mathbf{x}} \cdot \dot{\mathbf{x}} = \frac{\partial \phi}{\partial \mathbf{x}} \cdot \mathbf{f}(\mathbf{x}) + \frac{\partial \phi}{\partial \mathbf{x}} \cdot \mathbf{g}(\mathbf{x}) \cdot u \rightarrow \frac{\partial \phi}{\partial \mathbf{x}} \cdot \mathbf{g}(\mathbf{x}) = 0$$



Teorema

Teorema

Considere o sistema $\begin{cases} \dot{\mathbf{x}} = \mathbf{f}(\mathbf{x}) + \mathbf{g}(\mathbf{x}) \cdot u \\ y = h(\mathbf{x}) \end{cases}$ e suponha grau relativo ρ em D .

- Se $\rho = n$, então para cada $x_0 \in D$, existe uma vizinhança de x_0 tal

que o mapa: $T(\mathbf{x}) = \begin{bmatrix} h(\mathbf{x}) \\ \vdots \\ L_{\mathbf{f}}^{\rho-1} h \end{bmatrix}$ é **difeomorfismo**,

restrito nesta região.

- Se $\rho < n$, então para cada $x_0 \in D$, existem uma vizinhança de x_0 e funções suaves $\phi_1, \dots, \phi_{n-\rho}$, tal que $\frac{\partial \phi}{\partial \mathbf{x}} \cdot \mathbf{g}(\mathbf{x}) = \mathbf{0}$, para todo \mathbf{x} nesta região, e $T(\mathbf{x}) = \begin{bmatrix} \phi \\ \xi \end{bmatrix}$, um **difeomorfismo** restrito a esta região.



Linearização entrada-saída

$$\begin{cases} \dot{\phi} = \psi(\phi, \xi) \\ \dot{\xi} = \mathbf{A}_c \cdot \xi + \mathbf{B}_c \cdot \gamma(x) \cdot (u - \alpha(x)) \\ y = \mathbf{C}_c \cdot \xi \end{cases} \quad \begin{cases} \dot{\phi} = \psi(\phi, \xi) \rightarrow \text{não controlável.} \\ \dot{\xi} = \mathbf{A}_c \cdot \xi + \mathbf{B}_c \cdot \nu \\ y = \mathbf{C}_c \cdot \xi \end{cases}$$

Lei de controle:

$$u = \alpha(\mathbf{x}) + \gamma^{-1}(\mathbf{x}) \cdot \nu$$

Ponto de equilíbrio

Se $\mathbf{y}^* = \mathbf{0}$, então, $h(\mathbf{x}^*) = 0$, sendo possível escolher ϕ de tal forma que $\phi(\mathbf{x}^*) = 0$. Assim, a origem $[\phi^* = \mathbf{0}, \xi^* = \mathbf{0}]$, é **ponto de equilíbrio do novo sistema**.

Sistema de fase mínima

Se $\mathbf{z} = T(\mathbf{x})$ é escolhido tal que a origem ($\mathbf{z}^* = \mathbf{0}$) é ponto de equilíbrio do sistema, então o **sistema é dito de fase mínima se a origem da dinâmica zero $[\psi(\phi, 0)]$ é assintoticamente estável**.



Exemplo: Equação de Van der Pool

Caso 2:

$$\begin{bmatrix} \dot{x}_1 \\ \dot{x}_2 \end{bmatrix} = \underbrace{\begin{bmatrix} x_2 \\ -x_1 + \epsilon \cdot (1 - x_1^2) \cdot x_2 \end{bmatrix}}_{\mathbf{f}(x)} + \underbrace{\begin{bmatrix} 0 \\ 1 \end{bmatrix}}_{\mathbf{g}(x)} \cdot u \quad \begin{aligned} y &= h(x) = 0 \cdot x_1 + 1 \cdot x_2 \\ \dot{y} &= \dot{x}_2 \\ \dot{y} &= \underbrace{-x_1 + \epsilon \cdot (1 - x_1^2) \cdot x_2}_{L_f h} + \underbrace{1}_{L_g h} \cdot u \end{aligned}$$

■ Grau relativo = 1 → **tem uma dinâmica não controlável.**

■ Ponto de equilíbrio (\mathbf{x}^*): origem

■ Considere o novo espaço de estados: $\mathbf{z} = \begin{bmatrix} \phi \\ \xi \end{bmatrix} = \begin{bmatrix} \phi \\ y \end{bmatrix}$

■ Lei de controle:

$$u = \frac{1}{L_g L_f^{\rho-1} h} \cdot (-L_f^\rho h + \nu) = x_1 - \epsilon \cdot (1 - x_1^2) \cdot x_2 - k_1 \cdot \xi$$



Exemplo: Equação de Van der Pool

Caso 2:

$$\begin{bmatrix} \dot{x}_1 \\ \dot{x}_2 \end{bmatrix} = \underbrace{\begin{bmatrix} x_2 \\ -x_1 + \epsilon \cdot (1 - x_1^2) \cdot x_2 \end{bmatrix}}_{\mathbf{f}(x)} + \underbrace{\begin{bmatrix} 0 \\ 1 \end{bmatrix}}_{\mathbf{g}(x)} \cdot u$$

$$\mathbf{z} = \begin{bmatrix} \phi \\ \xi \end{bmatrix} = \begin{bmatrix} \phi \\ y \end{bmatrix}$$

$$\mathbf{z} = \begin{bmatrix} \phi \\ x_2 \end{bmatrix}$$

- Lei de controle:

$$u = \frac{1}{L_g L_f^{\rho-1} h} \cdot (-L_f^\rho h + \nu) = x_1 - \epsilon \cdot (1 - x_1^2) \cdot x_2 - k_1 \cdot \xi$$

- Caracterizar a dinâmica zero $\psi(\phi, 0)$: $\xi = 0 \rightarrow y = 0 \rightarrow x_2 = 0$
 $Z^* = \{x \in \mathbb{R}^2 | y = 0\} = \{x \in \mathbb{R}^2 | x_2 = 0\} | u_{ss} = x_1 \text{ (lei de controle)}$

$$\begin{cases} \dot{x}_1 = \cancel{x_2} \overset{0}{\nearrow} \\ \dot{x}_2 = -x_1 + \epsilon \cdot (1 - x_1^2) \cdot \cancel{x_2} \overset{0}{\nearrow} + u \end{cases} \quad \begin{cases} \dot{x}_1 = 0 \Rightarrow \dot{y} \rightarrow \text{Fase não mínima} \\ \dot{x}_2 = -x_1 + u \rightarrow \text{controlável} \end{cases}$$



Exemplo: Equação de Van der Pool

Definindo ϕ : $\frac{\partial \phi}{\partial \mathbf{x}} \cdot \mathbf{g}(\mathbf{x}) = 0 \rightarrow \begin{bmatrix} \frac{\partial \phi}{\partial x_1} & \frac{\partial \phi}{\partial x_2} \end{bmatrix} \cdot \begin{bmatrix} 0 \\ 1 \end{bmatrix} \rightarrow \frac{\partial \phi}{\partial x_2} = 0 \rightarrow \phi = x_1$
 $\phi(0) = 0$

$$\begin{cases} \dot{\phi} = \dot{x}_1 = x_2 \\ \dot{\xi} = u - x_1 + \epsilon \cdot (1 - x_1^2) \cdot x_2 \\ y = \xi \end{cases} \rightarrow \begin{cases} \dot{\phi} = \xi \rightarrow \text{Sistema de fase não-mínima} \\ \dot{\xi} = u - \phi + \epsilon \cdot (1 - \phi^2) \cdot \xi \\ y = \xi \end{cases}$$

- Lei de controle: $u = \phi - \epsilon \cdot (1 - \phi^2) \cdot \xi - k_1 \cdot \xi$
- Lei de controle: $u = x_1 - \epsilon \cdot (1 - x_1^2) \cdot x_2 - k_1 \cdot x_2$

Malha fechada:

$$\begin{cases} \dot{\phi} = \xi \rightarrow \text{Não controla} \\ \dot{\xi} = -K \cdot \xi \\ y = \xi \end{cases}$$

Essa lei de controle é apropriada?



Exemplo 13.6

Proponha um controlador para o sistema, pelo método do *feedback* linearizante:

$$\begin{cases} \dot{x}_1 = -x_1 + \frac{2 + x_3^2}{1 + x_3^2} \cdot u \\ \dot{x}_2 = x_3 \\ \dot{x}_3 = x_1 \cdot x_3 + u \\ y = x_2 \end{cases}$$

1 Grau relativo: = 2

$$y = x_2$$

$$\dot{y} = x_3 = L_f h$$

$$\ddot{y} = x_1 \cdot x_3 + u = L_f^2 h + L_g L_f h \cdot u$$

2 Ponto de equilíbrio (\mathbf{x}^*):
origem

3 Proposta do espaço de

$$\text{estados: } \mathbf{z} = \begin{bmatrix} \phi \\ y \\ \dot{y} \end{bmatrix} = \begin{bmatrix} \phi \\ \xi \end{bmatrix}$$

$$\begin{cases} \dot{\phi} = \psi(\phi, \xi) \\ \dot{\xi} = \mathbf{A} \cdot \xi + \mathbf{B} \cdot \gamma \cdot [u - \alpha(x)] \\ y = \mathbf{C} \cdot \xi \end{cases}$$



Exemplo 13.6

$$\begin{cases} \dot{x}_1 = -x_1 + \frac{2 + x_3^2}{1 + x_3^2} \cdot u \\ \dot{x}_2 = x_3 \\ \dot{x}_3 = x_1 \cdot x_3 + u \\ y = x_2 \end{cases}$$

$$\begin{aligned} y &= x_2 \\ \dot{y} &= \dot{x}_2 = x_3 = L_f h \\ \ddot{y} &= \dot{x}_3 = x_1 \cdot x_3 + u = L_f^2 h + L_g L_f h \cdot u \end{aligned}$$

1 Lei de controle: $u = \frac{1}{L_g L_f^{\rho-1} h} \cdot (-L_f^\rho h + \nu) = -x_1 \cdot x_3 - \mathbf{K} \cdot \xi$

2 Caracterizar a dinâmica zero ($\xi = 0$)

$$Z^* = \{x \in \mathbb{R}^3 | y = \dot{y} = 0\} = \{x \in \mathbb{R}^3 | x_2 = x_3 = 0\} | u_{ss} = 0$$

$$\begin{cases} \dot{x}_1 = -x_1 + 2 \cdot u \\ \dot{x}_2 = \cancel{x_3} \xrightarrow{0} 0 \\ \dot{x}_3 = x_1 \cdot \cancel{x_3} \xrightarrow{0} 0 + u \end{cases}$$

$$\begin{cases} \dot{x}_1 = -x_1 \rightarrow \text{Fase mínima} \\ \dot{x}_2 = 0 \Rightarrow \dot{y} \rightarrow \text{controlado} \\ \dot{x}_3 = 0 \Rightarrow \text{controlável} \end{cases}$$



Exemplo 13.6

- Determinar ϕ :
$$\begin{cases} \phi(\mathbf{x}^*) = 0 \\ \frac{\partial \phi}{\partial \mathbf{x}} \cdot \mathbf{g}(\mathbf{x}) = 0 \end{cases}$$

$$\begin{bmatrix} \frac{\partial \phi}{\partial x_1} & \frac{\partial \phi}{\partial x_2} & \frac{\partial \phi}{\partial x_3} \end{bmatrix} \cdot \begin{bmatrix} \frac{2 + x_3^2}{1 + x_3^2} \\ 0 \\ 1 \end{bmatrix} = 0$$

$$\frac{\partial \phi}{\partial x_1} \cdot \frac{2 + x_3^2}{1 + x_3^2} + \frac{\partial \phi}{\partial x_3} = 0 \rightarrow \phi = -x_1 + \tan^{-1}(x_3) + x_3$$

- Determinar $T(\mathbf{x})$ e $T^{-1}(\mathbf{x})$
(*difeomorfismo*?): $\rightarrow z \in \mathbb{R}^3$ e $\mathbf{x} \in \mathbb{R}^3 (x_1 > 0)$

$$\mathbf{z} = \begin{bmatrix} -x_1 + \tan^{-1}(x_3) + x_3 \\ x_2 \\ x_3 \end{bmatrix} \quad \mathbf{x} = \begin{bmatrix} -z_1 + \tan^{-1}(z_3) + z_3 \\ z_2 \\ z_3 \end{bmatrix}$$



Exemplo 13.6

Finalmente, o espaço de estados em $\mathbf{z} = \begin{bmatrix} \phi \\ \xi_1 \\ \xi_2 \end{bmatrix}$

$$\begin{cases} \dot{\phi} = (-\phi + \tan^{-1}(\xi_2) + \xi_2) \cdot \left(1 + \left(\frac{2 + \xi_2^2}{1 + \xi_2^2}\right) \cdot \xi_2\right) \\ \dot{\xi}_1 = \xi_2 \\ \dot{\xi}_2 = (-\phi + \tan^{-1}(\xi_2) + \xi_2) \cdot \xi_2 + u \\ y = \xi_1 \end{cases}$$

- Lei de controle: $u = -(-\phi + \tan^{-1}(\xi_2) + \xi_2) \cdot \xi_2 - k_{11} \cdot \xi_1 - k_{12} \cdot \xi_2$
- Lei de controle: $u = -x_1 \cdot x_3 - k_{11} \cdot x_2 - k_{12} \cdot x_3$
- Malha fechada:

$$\begin{cases} \dot{\phi} = (-\phi + \tan^{-1}(\xi_2) + \xi_2) \cdot \left(1 + \left(\frac{2 + \xi_2^2}{1 + \xi_2^2}\right) \cdot \xi_2\right) \\ \begin{bmatrix} \dot{\xi}_1 \\ \dot{\xi}_2 \end{bmatrix} = \begin{bmatrix} 0 & 1 \\ 0 & 0 \end{bmatrix} \cdot \begin{bmatrix} \xi_1 \\ \xi_2 \end{bmatrix} + \begin{bmatrix} 0 \\ 1 \end{bmatrix} \cdot \begin{bmatrix} k_{11} & k_{12} \end{bmatrix} \cdot \begin{bmatrix} \xi_1 \\ \xi_2 \end{bmatrix} \end{cases}$$

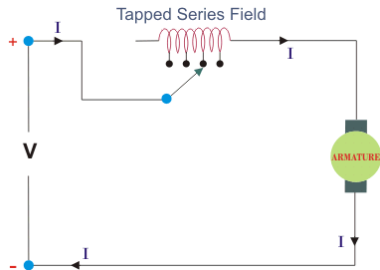


Exemplo 13.7: motor sem amortecimento no eixo

$$\begin{cases} \frac{di_f(t)}{dt} = -\frac{R_f}{L_f} \cdot i_f(t) + \frac{v_f(t)}{L_f} \\ \frac{di_a(t)}{dt} = -\frac{R_a}{L_a} \cdot i_a(t) - \frac{c_1}{L_a} \cdot i_f(t) \cdot w(t) + \frac{v_a(t)}{L_a} \\ \frac{dw(t)}{dt} = \frac{c_2}{J} \cdot i_f(t) \cdot i_a(t) - c_3 \cdot w \end{cases}$$

$$c_3 = 0$$

Projete um controlador (caso regulador) para a velocidade angular do rotor, $w(t)$, utilizando como variável manipulada a tensão do circuito externo $v_f(t)$.



Exemplo 13.7: motor sem amortecimento no eixo

$$\begin{cases} \frac{di_f(t)}{dt} = -\frac{R_f}{L_f} \cdot i_f(t) + \frac{v_f(t)}{L_f} \\ \frac{di_a(t)}{dt} = -\frac{R_a}{L_a} \cdot i_a(t) - \frac{c_1}{L_a} \cdot i_f(t) \cdot w(t) + \frac{v_a(t)}{L_a} \\ \frac{dw(t)}{dt} = \frac{c_2}{J} \cdot i_f(t) \cdot i_a(t) - c_3 \cdot w \end{cases}$$

$$c_3 = 0$$

$$\begin{cases} \dot{x}_1 = -a \cdot x_1 + u \\ \dot{x}_2 = -b \cdot x_2 + k - c \cdot x_1 \cdot x_3 \\ \dot{x}_3 = \theta \cdot x_1 \cdot x_2 \end{cases}$$

$$\begin{aligned} x_1 &= i_f & u &= \frac{v_f}{L_f} \\ x_2 &= i_a & k &= \frac{v_a}{L_a} \\ x_3 &= w \end{aligned}$$

Projete um controlador (caso regulador) para a velocidade angular do rotor, $w(t)$, utilizando como variável manipulada a tensão do circuito externo $v_{f(t)}$.

$$\begin{aligned} a &= \frac{R_f}{L_f} \\ b &= \frac{R_a}{L_a} \\ c &= \frac{c_1}{L_a} \\ \theta &= \frac{c_2}{J} \end{aligned}$$



Exemplo 13.7 - motor sem amortecimento no eixo

$$\begin{cases} \dot{x}_1 = -a \cdot x_1 + u \\ \dot{x}_2 = -b \cdot x_2 + k - c \cdot x_1 \cdot x_3 \\ \dot{x}_3 = \theta \cdot x_1 \cdot x_2 \end{cases}$$

$$y = x_3$$

$$\dot{y} = \dot{x}_3 = \theta \cdot x_1 \cdot x_2$$

$$\begin{aligned} \ddot{y} &= \theta \cdot (-a \cdot x_1 + u) \cdot x_2 + \theta \cdot x_1 \cdot \dot{x}_2 \\ &= -\theta \cdot a \cdot x_1 \cdot x_2 + \theta \cdot x_1 \cdot \dot{x}_2 + \theta \cdot x_2 \cdot u \end{aligned}$$

- 1 Grau relativo = 2
- 2 Ponto de equilíbrio (\mathbf{x}^*):

$$\begin{bmatrix} 0 & k/b & w_0 \end{bmatrix}$$
- 3 Proposta do espaço de estados:

$$\mathbf{z} = \begin{bmatrix} \phi \\ y \\ \dot{y} \end{bmatrix} = \begin{bmatrix} \phi \\ \xi \end{bmatrix}$$

$$\begin{cases} \dot{\phi} = \psi(\phi, \xi) \\ \dot{\xi} = \mathbf{A} \cdot \xi + \mathbf{B} \cdot \gamma \cdot [u - \alpha(x)] \\ y = \mathbf{C} \cdot \xi \end{cases}$$



Exemplo 13.7: motor sem amortecimento no eixo

1 Lei de controle: $u = \frac{1}{L_g L_f^{\rho-1} h} \cdot (-L_f^{\rho} h + \nu)$

$$u = \frac{1}{\theta \cdot x_2} \cdot (\theta \cdot a \cdot x_1 \cdot x_2 - \theta \cdot x_1 \cdot \dot{x}_2 + \nu)$$

2 Caracterizar a dinâmica zero ($\xi = 0$)

$$Z^* = \{x \in \mathbb{R}^3 | y = \dot{y} = 0\} = \{x \in \mathbb{R}^3 | x_3 = x_1 = 0\} | u_{ss} = 0$$

$$\begin{cases} \dot{x}_1 = -a \cdot x_1 + u \\ \dot{x}_2 = -b \cdot x_2 + k - c \cdot x_1 \cdot x_3 \\ \dot{x}_3 = \theta \cdot x_1 \cdot x_2 \end{cases} \quad \begin{cases} \dot{x}_1 = 0 \\ \dot{x}_2 = -b \cdot x_2 + k \rightarrow \text{estável} \\ \dot{x}_3 = 0 \end{cases}$$

3 Determinar $\phi = \begin{cases} \phi(\mathbf{x}^*) = 0 \\ \frac{\partial \phi}{\partial \mathbf{x}} \cdot \mathbf{g}(\mathbf{x}) = 0 \end{cases}$

$$\left[\frac{\partial \phi}{\partial x_1} \quad \frac{\partial \phi}{\partial x_2} \quad \frac{\partial \phi}{\partial x_3} \right] \cdot \begin{bmatrix} 1 \\ 0 \\ 0 \end{bmatrix} \rightarrow \frac{\partial \phi}{\partial x_1} = 0 \left| \phi = x_2 - \frac{k}{b} \right.$$



Exemplo 13.7: motor sem amortecimento no eixo

- Pontos de equilíbrio: $[0 \quad k/b \quad w_0] \rightarrow [0 \quad 0 \quad 0]$
- Determinar $T(x)$ e $T^{-1}(x)$ (*difeomorfismo?*)
 $\rightarrow z \in \mathbb{R}^3$ e $x \in \mathbb{R}^3 (x_2 > 0)$

$$z = \begin{bmatrix} x_2 - \frac{k}{b} \\ x_3 \\ \theta \cdot x_1 \cdot x_2 \end{bmatrix}$$

$$x = \begin{bmatrix} \frac{z_3}{\theta \cdot (z_1 + \frac{k}{b})} \\ z_1 + \frac{k}{b} \\ z_2 \end{bmatrix}$$

- Sistema:

$$\begin{cases} \dot{z}_1 \\ \dot{z}_2 \\ \dot{z}_3 \end{cases} = \begin{cases} \dot{\phi} \\ \dot{\xi}_1 \\ \dot{\xi}_2 \end{cases} = \begin{cases} -b \cdot \phi - c \cdot \frac{\xi_2}{\theta \cdot (\phi + \frac{k}{b})} \cdot \xi_1 \\ \xi_2 \\ -(a+b) \cdot \xi_2 + \frac{k \cdot \xi_2}{\phi + \frac{k}{b}} - c \cdot \left(\frac{\xi_2^2}{\theta \cdot (\phi + \frac{k}{b})^2} \right) \cdot \xi_1 + \theta \cdot \left(\phi + \frac{k}{b} \right) \cdot u \end{cases}$$



Exemplo 13.7: motor sem amortecimento no eixo

$$\mathbf{z} = \begin{bmatrix} x_2 - \frac{k}{b} \\ x_3 \\ \theta \cdot x_1 \cdot x_2 \end{bmatrix} \quad \mathbf{x} = \begin{bmatrix} \frac{z_3}{\theta \cdot \left(z_1 + \frac{k}{b}\right)} \\ z_1 + \frac{k}{b} \\ z_2 \end{bmatrix}$$

$$\begin{cases} \dot{z}_1 \\ \dot{z}_2 \\ \dot{z}_3 \end{cases} = \begin{cases} \dot{\phi} \\ \dot{\xi}_1 \\ \dot{\xi}_2 \end{cases} = \begin{cases} -b \cdot \phi - c \cdot \frac{\xi_2}{\theta \cdot \left(\phi + \frac{k}{b}\right)} \cdot \xi_1 \\ \xi_2 \\ -(a+b) \cdot \xi_2 + \frac{k \cdot \xi_2}{\phi + \frac{k}{b}} - c \cdot \left(\frac{\xi_2^2}{\theta \cdot \left(\phi + \frac{k}{b}\right)^2}\right) \cdot \xi_1 + \theta \cdot \left(\phi + \frac{k}{b}\right) \cdot u \end{cases}$$

Lei de controle: $u = \frac{1}{\theta \cdot x_2} \cdot (\theta \cdot a \cdot x_1 \cdot x_2 - \theta \cdot x_1 \cdot \dot{x}_2 + \nu)$

$$u = \frac{1}{\theta \cdot \left(\phi + \frac{k}{b}\right)} \cdot \left((a+b) \cdot \xi_2 - \frac{k \cdot \xi_2}{\phi + \frac{k}{b}} + \frac{c \cdot \xi_2^2 \cdot \xi_1}{\theta \cdot \left(\phi + \frac{k}{b}\right)^2} + \nu \right)$$



Exemplo 13.7: motor sem amortecimento no eixo

- Considere agora que há amortecimento no eixo. Projete um controlador por *feedback* linearizante para este sistema.



Linearização total dos estados

A depender da variável controlada ($y = h(x)$), o sistema pode apresentar uma dinâmica que não será controlada.

O sistema é linearizável por *feedback* se existe uma função suave

$h : \mathbb{D} \rightarrow \mathbb{R}^n$, tal que o sistema $\begin{cases} \dot{\mathbf{x}} = \mathbf{f}(\mathbf{x}) + \mathbf{g}(\mathbf{x}) \cdot u \\ y = h(\mathbf{x}) \end{cases}$ tem grau relativo

n na região $\mathbb{D}_0 \subset \mathbb{D}$.

Na forma padrão, o sistema será reduzido para:

$$\begin{cases} \dot{\mathbf{z}} = \mathbf{A}_c \cdot \mathbf{z} + \mathbf{B}_c \cdot \gamma(\mathbf{x}) \cdot [u - \alpha(\mathbf{x})] \\ y = \mathbf{C} \cdot \mathbf{z} \end{cases}$$

\mathbf{A}_c e $\mathbf{B}_c \rightarrow$ CONTROLÁVEL

$$\mathbf{z} = \mathbf{T}(\mathbf{x})$$

$$\dot{\mathbf{z}} = \frac{\partial \mathbf{T}(\mathbf{x})}{\partial \mathbf{x}} \cdot \dot{\mathbf{x}}$$

$$\text{Avaliar } \mathbf{T}(\mathbf{x}) = \begin{bmatrix} h(\mathbf{x}) \\ ? \end{bmatrix}$$



Linearização total dos estados

$$\mathbf{z} = \mathbf{T}(\mathbf{x})$$

$$\dot{\mathbf{z}} = \frac{\partial \mathbf{T}(\mathbf{x})}{\partial \mathbf{x}} \cdot \dot{\mathbf{x}}$$

$$\mathbf{A}_c \cdot \mathbf{z} + \mathbf{B}_c \cdot \gamma(\mathbf{x}) \cdot [u - \alpha(\mathbf{x})] = \frac{\partial \mathbf{T}(\mathbf{x})}{\partial \mathbf{x}} \cdot (\mathbf{f}(\mathbf{x}) + \mathbf{g}(\mathbf{x}) \cdot u)$$

$$\mathbf{A}_c \cdot \mathbf{T}(\mathbf{x}) + \mathbf{B}_c \cdot \gamma(\mathbf{x}) \cdot [u - \alpha(\mathbf{x})] = \frac{\partial \mathbf{T}(\mathbf{x})}{\partial \mathbf{x}} \cdot (\mathbf{f}(\mathbf{x}) + \mathbf{g}(\mathbf{x}) \cdot u)$$

$$\mathbf{A}_c \cdot \mathbf{T}(\mathbf{x}) - \mathbf{B}_c \cdot \gamma(\mathbf{x}) \cdot \alpha(\mathbf{x}) + \mathbf{B}_c \cdot \gamma(\mathbf{x}) \cdot u = \frac{\partial \mathbf{T}(\mathbf{x})}{\partial \mathbf{x}} \cdot \mathbf{f}(\mathbf{x}) + \frac{\partial \mathbf{T}(\mathbf{x})}{\partial \mathbf{x}} \cdot \mathbf{g}(\mathbf{x}) \cdot u$$



Linearização total dos estados

$$\mathbf{A}_c \cdot \mathbf{T}(\mathbf{x}) - \mathbf{B}_c \cdot \gamma(\mathbf{x}) \cdot \alpha(\mathbf{x}) + \mathbf{B}_c \cdot \gamma(\mathbf{x}) \cdot u = \frac{\partial \mathbf{T}(\mathbf{x})}{\partial \mathbf{x}} \cdot \mathbf{f}(\mathbf{x}) + \frac{\partial \mathbf{T}(\mathbf{x})}{\partial \mathbf{x}} \cdot \mathbf{g}(\mathbf{x}) \cdot u$$

$$\frac{\partial \mathbf{T}(\mathbf{x})}{\partial \mathbf{x}} \cdot \mathbf{f}(\mathbf{x}) = \mathbf{A}_c \cdot \mathbf{T}(\mathbf{x}) - \mathbf{B}_c \cdot \gamma(\mathbf{x}) \cdot \alpha(\mathbf{x})$$

$$\begin{bmatrix} \frac{\partial T_1(\mathbf{x})}{\partial \mathbf{x}} \cdot \mathbf{f}(\mathbf{x}) \\ \frac{\partial T_2(\mathbf{x})}{\partial \mathbf{x}} \cdot \mathbf{f}(\mathbf{x}) \\ \frac{\partial T_3(\mathbf{x})}{\partial \mathbf{x}} \cdot \mathbf{f}(\mathbf{x}) \\ \vdots \\ \frac{\partial T_{n-1}(\mathbf{x})}{\partial \mathbf{x}} \cdot \mathbf{f}(\mathbf{x}) \\ \frac{\partial T_n(\mathbf{x})}{\partial \mathbf{x}} \cdot \mathbf{f}(\mathbf{x}) \end{bmatrix} = \begin{bmatrix} 0 & 1 & 0 & \cdots & 0 \\ 0 & 0 & 1 & \cdots & 0 \\ 0 & 0 & 0 & \ddots & 0 \\ \vdots & \vdots & \vdots & \ddots & \vdots \\ 0 & 0 & 0 & \cdots & 1 \\ 0 & 0 & 0 & \cdots & 0 \end{bmatrix} \cdot \begin{bmatrix} T_1(\mathbf{x}) \\ T_2(\mathbf{x}) \\ T_3(\mathbf{x}) \\ \vdots \\ T_{n-1}(\mathbf{x}) \\ T_n(\mathbf{x}) \end{bmatrix} - \begin{bmatrix} 0 \\ 0 \\ 0 \\ \vdots \\ 0 \\ 1 \end{bmatrix} \cdot \gamma(\mathbf{x}) \cdot \alpha(\mathbf{x})$$



Linearização total dos estados

$$\mathbf{T}(\mathbf{x}) = \begin{bmatrix} h(\mathbf{x}) \\ ? \end{bmatrix}$$

$$T_1(\mathbf{x}) = h(\mathbf{x})$$

$$\frac{\partial T_1(\mathbf{x})}{\partial \mathbf{x}} \cdot \mathbf{f}(\mathbf{x}) = \mathbf{T}_2(\mathbf{x}) \rightarrow L_f T_1(\mathbf{x}) = T_2(\mathbf{x}) \rightarrow L_f^1 h(\mathbf{x}) = T_2(\mathbf{x})$$

$$\frac{\partial T_2(\mathbf{x})}{\partial \mathbf{x}} \cdot \mathbf{f}(\mathbf{x}) = \mathbf{T}_3(\mathbf{x}) \rightarrow L_f T_2(\mathbf{x}) = T_3(\mathbf{x}) \rightarrow L_f^2 h(\mathbf{x}) = T_3(\mathbf{x})$$

$$\vdots$$

$$\frac{\partial T_{n-2}(\mathbf{x})}{\partial \mathbf{x}} \cdot \mathbf{f}(\mathbf{x}) = \mathbf{T}_{n-1}(\mathbf{x}) \rightarrow L_f^{n-2} h(\mathbf{x}) = T_{n-1}(\mathbf{x})$$

$$\frac{\partial T_{n-1}(\mathbf{x})}{\partial \mathbf{x}} \cdot \mathbf{f}(\mathbf{x}) = \mathbf{T}_n(\mathbf{x}) \rightarrow L_f^{n-1} h(\mathbf{x}) = T_n(\mathbf{x})$$

$$\frac{\partial T_n(\mathbf{x})}{\partial \mathbf{x}} \cdot \mathbf{f}(\mathbf{x}) = -\gamma(\mathbf{x}) \cdot \alpha(\mathbf{x}) \rightarrow L_f^n h(\mathbf{x}) = -\gamma(\mathbf{x}) \cdot \alpha(\mathbf{x})$$



Linearização total dos estados

$$\mathbf{A}_c \cdot \mathbf{T}(\mathbf{x}) - \mathbf{B}_c \cdot \gamma(\mathbf{x}) \cdot \alpha(\mathbf{x}) + \mathbf{B}_c \cdot \gamma(\mathbf{x}) \cdot u = \frac{\partial \mathbf{T}(\mathbf{x})}{\partial \mathbf{x}} \cdot \mathbf{f}(\mathbf{x}) + \frac{\partial \mathbf{T}(\mathbf{x})}{\partial \mathbf{x}} \cdot \mathbf{g}(\mathbf{x}) \cdot u$$

$$\frac{\partial \mathbf{T}(\mathbf{x})}{\partial \mathbf{x}} \cdot \mathbf{g}(\mathbf{x}) \cdot u = \mathbf{B}_c \cdot \gamma(\mathbf{x})$$

$$\begin{bmatrix} \frac{\partial T_1(\mathbf{x})}{\partial \mathbf{x}} \cdot \mathbf{g}(\mathbf{x}) \\ \frac{\partial T_2(\mathbf{x})}{\partial \mathbf{x}} \cdot \mathbf{g}(\mathbf{x}) \\ \frac{\partial T_3(\mathbf{x})}{\partial \mathbf{x}} \cdot \mathbf{g}(\mathbf{x}) \\ \vdots \\ \frac{\partial T_{n-1}(\mathbf{x})}{\partial \mathbf{x}} \cdot \mathbf{g}(\mathbf{x}) \\ \frac{\partial T_n(\mathbf{x})}{\partial \mathbf{x}} \cdot \mathbf{g}(\mathbf{x}) \end{bmatrix} = \begin{bmatrix} 0 \\ 0 \\ 0 \\ \vdots \\ 0 \\ 1 \end{bmatrix} \cdot \gamma(\mathbf{x})$$



Linearização total dos estados

$$T_1(\mathbf{x}) = h(\mathbf{x})$$

$$\frac{\partial T_1(\mathbf{x})}{\partial \mathbf{x}} \cdot \mathbf{g}(\mathbf{x}) = 0 \rightarrow L_{\mathbf{g}} h(\mathbf{x}) = 0$$

$$\frac{\partial T_2(\mathbf{x})}{\partial \mathbf{x}} \cdot \mathbf{g}(\mathbf{x}) = 0 \rightarrow L_{\mathbf{g}} L_{\mathbf{f}} h(\mathbf{x}) = 0$$

$$\vdots$$

$$\frac{\partial T_{n-1}(\mathbf{x})}{\partial \mathbf{x}} \cdot \mathbf{g}(\mathbf{x}) = 0 \rightarrow L_{\mathbf{g}} L_{\mathbf{f}}^{n-2} h(\mathbf{x}) = 0$$

$$\frac{\partial T_n(\mathbf{x})}{\partial \mathbf{x}} \cdot \mathbf{g}(\mathbf{x}) = 0 \rightarrow L_{\mathbf{g}} L_{\mathbf{f}}^{n-1} h(\mathbf{x}) = \gamma(\mathbf{x})$$

$$T_1(\mathbf{x}) = h(\mathbf{x})$$

$$T_2(\mathbf{x}) = L_{\mathbf{f}}^1 h(\mathbf{x})$$

$$T_3(\mathbf{x}) = L_{\mathbf{f}}^2 h(\mathbf{x})$$

$$\vdots$$

$$T_{n-1}(\mathbf{x}) = L_{\mathbf{f}}^{n-2} h(\mathbf{x})$$

$$T_n(\mathbf{x}) = L_{\mathbf{f}}^{n-1} h(\mathbf{x})$$

$$L_{\mathbf{f}}^n h(\mathbf{x}) = -\gamma(\mathbf{x}) \cdot \alpha(\mathbf{x})$$

$$\alpha(\mathbf{x}) = -\frac{L_{\mathbf{f}}^n h(\mathbf{x})}{L_{\mathbf{g}} L_{\mathbf{f}}^{n-1} h(\mathbf{x})}$$



Linearização total dos estados

O sistema é linearizável por *feedback* se e apenas se um função $h(\mathbf{x})$ existe tal que o sistema $\begin{cases} \dot{\mathbf{x}} = \mathbf{f}(\mathbf{x}) + \mathbf{g}(\mathbf{x}) \cdot u \\ y = h(\mathbf{x}) \end{cases}$ tenha grau relativo n , ou equivalente $h(\mathbf{x})$ que satisfaça as equações diferenciais:

$$\begin{cases} L_{\mathbf{g}} L_{\mathbf{f}}^i h(\mathbf{x}) = 0, & i = 0, \dots, n-2 \\ L_{\mathbf{g}} L_{\mathbf{f}}^{n-1} h(\mathbf{x}) \neq 0 \end{cases}$$

Forma padrão: $\dot{\mathbf{z}} = \mathbf{A}_c \cdot \mathbf{z} + \mathbf{B}_c \cdot \gamma(\mathbf{x}) \cdot [u - \alpha(\mathbf{x})]$

Lei de controle:

$$u = \alpha(\mathbf{x}) - \gamma^{-1} \cdot \mathbf{K} \cdot \mathbf{z} \rightarrow u = \frac{1}{L_{\mathbf{g}} L_{\mathbf{f}}^{n-1} h(\mathbf{x})} \cdot (-L_{\mathbf{f}}^n h(\mathbf{x}) - \mathbf{K} \cdot \mathbf{z})$$

$$\alpha(\mathbf{x}) = -\frac{L_{\mathbf{f}}^n h(\mathbf{x})}{L_{\mathbf{g}} L_{\mathbf{f}}^{n-1} h} \quad \gamma(\mathbf{x}) = L_{\mathbf{g}} L_{\mathbf{f}}^{n-1} h(\mathbf{x})$$

EXISTE SOLUÇÃO PARA O SISTEMA DE EQUAÇÕES DIFERENCIAIS?



Teorema de Frobenius

Uso

Provê condições necessárias e suficientes para solução de uma especial de equações diferenciais parciais.

Considere:

$$\frac{dh(\mathbf{x})}{dx_1} \cdot a_1 + \frac{dh(\mathbf{x})}{dx_2} \cdot a_2 + \frac{dh(\mathbf{x})}{dx_3} \cdot a_3 = 0$$

$$\frac{dh(\mathbf{x})}{dx_1} \cdot b_1 + \frac{dh(\mathbf{x})}{dx_2} \cdot b_2 + \frac{dh(\mathbf{x})}{dx_3} \cdot b_3 = 0$$

$$\begin{bmatrix} \frac{dh(\mathbf{x})}{dx_1} & \frac{dh(\mathbf{x})}{dx_2} & \frac{dh(\mathbf{x})}{dx_3} \end{bmatrix} \cdot \begin{bmatrix} a_1 \\ a_2 \\ a_3 \end{bmatrix} = 0$$

$$\begin{bmatrix} \frac{dh(\mathbf{x})}{dx_1} & \frac{dh(\mathbf{x})}{dx_2} & \frac{dh(\mathbf{x})}{dx_3} \end{bmatrix} \cdot \begin{bmatrix} b_1 \\ b_2 \\ b_3 \end{bmatrix} = 0$$

- $a_i(x_1, x_2, x_3)$, $b_i(x_1, x_2, x_3) \rightarrow$ funções escalares
- $h(\mathbf{x}) = h(x_1, x_2, x_3) \rightarrow$ função que se deseja avaliar.
- Se existe $h(x_1, x_2, x_3)$, então, o campo vetorial $\{\mathbf{a}, \mathbf{b}\}$ é **completamente integrável**.
- o sistema de equações, é o que queremos resolver na linearização total.



Teorema de Frobenius

Este conjunto de equações possui solução se e apenas se existem funções escalares $\alpha_1(x_1, x_2, x_3)$ $\alpha_2(x_1, x_2, x_3)$ tal que:

$$\begin{bmatrix} \frac{dh(\mathbf{x})}{dx_1} & \frac{dh(\mathbf{x})}{dx_2} & \frac{dh(\mathbf{x})}{dx_3} \end{bmatrix} \cdot \begin{bmatrix} a_1 \\ a_2 \\ a_3 \end{bmatrix} = 0$$

$$\nabla \mathbf{b} \cdot \mathbf{a} - \nabla \mathbf{a} \cdot \mathbf{b} = \underbrace{\alpha_1 \cdot \mathbf{a} + \alpha_1 \cdot \mathbf{b}}_{\text{combinação linear dos vetores}}$$

$$\begin{bmatrix} \frac{dh(\mathbf{x})}{dx_1} & \frac{dh(\mathbf{x})}{dx_2} & \frac{dh(\mathbf{x})}{dx_3} \end{bmatrix} \cdot \begin{bmatrix} b_1 \\ b_2 \\ b_3 \end{bmatrix} = 0$$

$$\underbrace{[a, b]}_{\text{parênteses de Lie}} = \alpha_1 \cdot \mathbf{a} + \alpha_1 \cdot \mathbf{b}$$

campo vetorial em involução

Um sistema de campos vetoriais $\{\mathbf{v}_1, \mathbf{v}_2, \dots, \mathbf{v}_r\}$ em \mathbb{D} é dito estar em **involução** se existe funções reais $c_k^{i,j}(\mathbf{x})$, $\mathbf{x} \in \mathbb{D}$ e $i, j, k = 1, \dots, r$ tal que:

$$[\mathbf{v}_i, \mathbf{v}_j] = \sum_{k=1}^r c_k^{i,j} \cdot \mathbf{v}_k$$

os parênteses de Lie são
combinação linear (funções) dos
vetores que compõem a base.



Teorema de Frobenius

Teorema de Frobenius

O campo vetorial $\{\mathbf{v}_1, \mathbf{v}_2, \dots, \mathbf{v}_r\}$ é integrável se e somente se o mesmo é **involutivo**.

Definição

um campo vetorial de vetores independentes $\{\mathbf{v}_1, \mathbf{v}_2, \dots, \mathbf{v}_r\}$ em \mathbb{R}^n é dito ser completamente integrável se e apenas se, existe $n - r$ funções escalares $h_1(\mathbf{x}), \dots, h_{n-r}(\mathbf{x})$, satisfazendo: $\nabla h_i \cdot \mathbf{v}_j = 0$

Observações:

- Um campo de vetores

constantes é sempre involutivo:

$$[\mathbf{v}_1, \mathbf{v}_2] = \overset{0}{\cancel{\nabla \mathbf{v}_2 \cdot \mathbf{v}_1}} - \overset{0}{\cancel{\nabla \mathbf{v}_1 \cdot \mathbf{v}_2}} = 0$$

- $\{\mathbf{v}_1, \mathbf{v}_1\}$ é involutivo:

$$[\mathbf{v}_1, \mathbf{v}_1] = \nabla \mathbf{v}_1 \cdot \mathbf{v}_1 - \nabla \mathbf{v}_1 \cdot \mathbf{v}_1 = 0$$

$\{\mathbf{v}_1, \dots, \mathbf{v}_r\}$ involutivo:

$$\begin{aligned} \text{rank}(\mathbf{v}_1, \dots, \mathbf{v}_r) &= \\ \text{rank}(\mathbf{v}_1, \dots, \mathbf{v}_r, [\mathbf{v}_1, \mathbf{v}_j](\mathbf{x})) \end{aligned}$$



Parênteses de Lie

É um **campo vetorial** definido por:

$$[\mathbf{f}, \mathbf{g}] = \nabla \mathbf{g} \cdot \mathbf{f} - \nabla \mathbf{f} \cdot \mathbf{g}$$

“ação adjunta”

- $\text{ad}_{\mathbf{f}}^0 \mathbf{g}(\mathbf{x}) = \mathbf{g}(\mathbf{x})$
- $\text{ad}_{\mathbf{f}} \mathbf{g}(\mathbf{x}) = [\mathbf{f}, \mathbf{g}](\mathbf{x})$
- $\text{ad}_{\mathbf{f}}^2 \mathbf{g}(\mathbf{x}) = \text{ad}_{\mathbf{f}} \text{ad}_{\mathbf{f}} \mathbf{g}(\mathbf{x}) = [\mathbf{f}, \text{ad}_{\mathbf{f}} \mathbf{g}(\mathbf{x})]$
- $\text{ad}_{\mathbf{f}}^k \mathbf{g}(\mathbf{x}) = [\mathbf{f}, \text{ad}_{\mathbf{f}}^{k-1} \mathbf{g}(\mathbf{x})]$

- Comutatividade (distorcida)
 $[\mathbf{f}, \mathbf{g}] = -[\mathbf{g}, \mathbf{f}]$
- Identidade de Jacobi
 $L_{\text{ad}_{\mathbf{f}} \mathbf{g}} h = L_{\mathbf{f}} L_{\mathbf{g}} h - L_{\mathbf{g}} L_{\mathbf{f}} h$



Linearização total dos estados: condições para solução

$$L_g h(\mathbf{x}) = 0$$

$$\nabla \mathbf{h} \cdot \mathbf{g} = 0$$

$$-L_{\text{adfg}} \mathbf{h} + L_f L_g \mathbf{h} = 0$$

$$L_g L_f h(\mathbf{x}) = 0$$

$$-\nabla \mathbf{h} \cdot \text{ad}_f \mathbf{g} + \cancel{\nabla L_g \mathbf{h} \cdot \mathbf{f}}^0 = 0$$

Identidade de Jacobi

$$L_{\text{adfg}} h = L_f L_g h - L_g L_f h$$

$$\nabla \mathbf{h} \cdot \text{ad}_f \mathbf{g} = 0$$

$$L_g L_f^2 h(\mathbf{x}) = 0$$

$$L_{\text{ad}_f^2 g} h = 0$$

Identidade de Jacobi

$$L_{\text{ad}_f^2 g} h = L_{\text{ad}_f} L_{\text{ad}_f g} h$$

$$= L_f L_{\text{ad}_f g} h - L_{\text{ad}_f g} L_f h$$

$$\nabla \mathbf{h} \cdot \text{ad}_f^2 \mathbf{g} = 0 = L_f^2 L_g h - 2 \cdot L_f L_g L_f h + L_g L_f^2 h$$

$$= \cancel{L_f^2 L_g h}^0 - 2 \cdot \cancel{L_f L_g L_f h}^0 + L_g L_f^2 h$$

$$\vdots$$

$$\vdots$$

$$\vdots$$

$$L_g L_f^{n-2} h(\mathbf{x}) = 0$$

$$L_{\text{ad}_f^{n-2} g} h = 0$$

Identidade de Jacobi

$$\nabla \mathbf{h} \cdot \text{ad}_f^{n-2} \mathbf{g} = 0$$



Linearização total dos estados: condições para solução

$$\begin{aligned}\nabla \mathbf{h} \cdot \mathbf{g} &= 0 \\ \nabla \mathbf{h} \cdot \text{ad}_f \mathbf{g} &= 0 \\ \nabla \mathbf{h} \cdot \text{ad}_f^2 \mathbf{g} &= 0 \\ &\vdots \\ \nabla \mathbf{h} \cdot \text{ad}_f^{n-2} \mathbf{g} &= 0\end{aligned}$$

$$\begin{aligned}\nabla \mathbf{h} \cdot \mathbf{g} &= 0 \\ \nabla \mathbf{h} \cdot \text{ad}_f \mathbf{g} &= 0 \\ \nabla \mathbf{h} \cdot \text{ad}_f^2 \mathbf{g} &= 0 \\ &\vdots \\ \nabla \mathbf{h} \cdot \text{ad}_f^{n-2} \mathbf{g} &= 0 \\ \nabla \mathbf{h} \cdot \text{ad}_f^{n-1} \mathbf{g} &\neq 0\end{aligned}$$

Teorema de Frobenius

O campo vetorial $V = \text{span}\{\mathbf{g}, \text{ad}_f \mathbf{g}, \text{ad}_f^2 \mathbf{g}, \dots, \text{ad}_f^{n-2} \mathbf{g}\}$ deve ser involutivo em \mathbb{D}_0 .

Para que este sistema tenha solução, $G(\mathbf{x}) = [\mathbf{g}, \text{ad}_f \mathbf{g}, \text{ad}_f^2 \mathbf{g}, \dots, \text{ad}_f^{n-2} \mathbf{g}, \text{ad}_f^{n-1} \mathbf{g}]$ deve ter rank n , para todo $\mathbf{x} \in \mathbb{D}_0$.

Assuma \mathbf{x}^* como ponto de equilíbrio do sistema ($u = 0$). Escolhe-se $h(\mathbf{x}^*) = 0$. Assim, $\mathbf{z} = T(\mathbf{x})$ mapeia \mathbf{x}^* na origem.



Exemplo 13.14:

Propor uma lei de controle para o sistema por linearização total dos estados:

$$\begin{bmatrix} \dot{x}_1 \\ \dot{x}_2 \\ \dot{x}_3 \\ \dot{x}_4 \end{bmatrix} = \begin{bmatrix} x_2 \\ -a \cdot \sin(x_1) - b \cdot (x_1 - x_3) \\ x_4 \\ c \cdot (x_1 - x_3) \end{bmatrix} + \begin{bmatrix} 0 \\ 0 \\ 0 \\ d \end{bmatrix} \cdot u \quad \begin{array}{l} \dot{\mathbf{x}} = \mathbf{f}(\mathbf{x}) + \mathbf{g}(\mathbf{x}) \cdot u \\ \mathbf{f}(\mathbf{x}) \text{ e } \mathbf{g}(\mathbf{x}) \rightarrow \\ \text{campos vetoriais.} \end{array}$$

Sistema a ser resolvido:

$$\begin{cases} L_g h(\mathbf{x}) = 0 \\ L_g L_f h(\mathbf{x}) = 0 \\ L_g L_f^2 h(\mathbf{x}) = 0 \\ L_g L_f^3 h(\mathbf{x}) = \gamma(\mathbf{x}) \neq 0 \end{cases} \quad \begin{cases} \nabla h \cdot \mathbf{g} = 0 \\ \nabla h \cdot \text{ad}_f \mathbf{g} = 0 \\ \nabla h \cdot \text{ad}_f^2 \mathbf{g} = 0 \\ \nabla h \cdot \text{ad}_f^3 \mathbf{g} \neq 0 \end{cases} \quad h(0) = 0$$

1 Condições de existência de solução:

- ▶ $V = \text{span}\{\mathbf{g}, \text{ad}_f \mathbf{g}, \text{ad}_f^2 \mathbf{g}\}$ é involutivo?

- ▶ $G(\mathbf{x}) = [\mathbf{g}, \text{ad}_f \mathbf{g}, \text{ad}_f^2 \mathbf{g}, \text{ad}_f^3 \mathbf{g}]$ tem rank 4?



Exemplo:

1 Condições de existência de solução:

- ▶ $V = \text{span}\{\mathbf{g}, \text{ad}_f \mathbf{g}, \text{ad}_f^2 \mathbf{g}\}$ é involutivo?

- ▶ $G(\mathbf{x}) = [\mathbf{g}, \text{ad}_f \mathbf{g}, \text{ad}_f^2 \mathbf{g}, \text{ad}_f^3 \mathbf{g}]$ tem *rank* 4?

$$\text{ad}_f \mathbf{g} = \frac{\partial \mathbf{g}}{\partial \mathbf{x}} \cdot \mathbf{f}(\mathbf{x}) - \frac{\partial \mathbf{f}}{\partial \mathbf{x}} \cdot \mathbf{g}(\mathbf{x}) = - \begin{bmatrix} \frac{\partial f_1}{\partial x_1} & \frac{\partial f_1}{\partial x_2} & \frac{\partial f_1}{\partial x_3} & \frac{\partial f_1}{\partial x_4} \\ \frac{\partial f_2}{\partial x_1} & \frac{\partial f_2}{\partial x_2} & \frac{\partial f_2}{\partial x_3} & \frac{\partial f_2}{\partial x_4} \\ \frac{\partial f_3}{\partial x_1} & \frac{\partial f_3}{\partial x_2} & \frac{\partial f_3}{\partial x_3} & \frac{\partial f_3}{\partial x_4} \\ \frac{\partial f_4}{\partial x_1} & \frac{\partial f_4}{\partial x_2} & \frac{\partial f_4}{\partial x_3} & \frac{\partial f_4}{\partial x_4} \end{bmatrix} \cdot \begin{bmatrix} 0 \\ 0 \\ 0 \\ d \end{bmatrix} = \begin{bmatrix} 0 \\ 0 \\ -d \\ 0 \end{bmatrix}$$



Exemplo 13.14:

1 Condições de existência de solução:

► $V = \text{span}\{\mathbf{g}, \text{ad}_f \mathbf{g}, \text{ad}_f^2 \mathbf{g}\}$ é involutivo?

► $G(\mathbf{x}) = [\mathbf{g}, \text{ad}_f \mathbf{g}, \text{ad}_f^2 \mathbf{g}, \text{ad}_f^3 \mathbf{g}]$ tem *rank* 4?

$$\text{ad}_f^2 \mathbf{g} = \frac{\partial \text{ad}_f \mathbf{g}}{\partial \mathbf{x}} \cdot \mathbf{f}(\mathbf{x}) - \frac{\partial \mathbf{f}}{\partial \mathbf{x}} \cdot \text{ad}_f \mathbf{g} = -\nabla \mathbf{f}(\mathbf{x}) \cdot \begin{bmatrix} 0 \\ 0 \\ -d \\ 0 \end{bmatrix}$$

$$\text{ad}_f^2 \mathbf{g} = - \begin{bmatrix} -\frac{\partial f_1}{\partial x_3} \cdot d \\ -\frac{\partial f_2}{\partial x_3} \cdot d \\ -\frac{\partial f_3}{\partial x_3} \cdot d \\ -\frac{\partial f_4}{\partial x_3} \cdot d \end{bmatrix} = \begin{bmatrix} 0 \\ d \cdot b \\ 0 \\ -c \cdot d \end{bmatrix}$$



Exemplo 13.14:

1 Condições de existência de solução:

► $V = \text{span}\{\mathbf{g}, \text{ad}_f \mathbf{g}, \text{ad}_f^2 \mathbf{g}\}$ é involutivo?

► $G(\mathbf{x}) = [\mathbf{g}, \text{ad}_f \mathbf{g}, \text{ad}_f^2 \mathbf{g}, \text{ad}_f^3 \mathbf{g}]$ tem *rank* 4?

$$\begin{aligned} \text{ad}_f^3 \mathbf{g} &= \frac{\partial \text{ad}_f^2 \mathbf{g}}{\partial \mathbf{x}} \cdot \mathbf{f}(\mathbf{x}) - \frac{\partial \mathbf{f}}{\partial \mathbf{x}} \cdot \text{ad}_f^2 \mathbf{g} = -\nabla \mathbf{f} \cdot \text{ad}_f^2 \mathbf{g} \\ \text{ad}_f^3 \mathbf{g} &= - \begin{bmatrix} \frac{\partial f_1}{\partial x_2} \cdot d \cdot b - \frac{\partial f_1}{\partial x_4} \cdot c \cdot d \\ \frac{\partial f_2}{\partial x_2} \cdot d \cdot b - \frac{\partial f_2}{\partial x_4} \cdot c \cdot d \\ \frac{\partial f_3}{\partial x_2} \cdot d \cdot b - \frac{\partial f_3}{\partial x_4} \cdot c \cdot d \\ \frac{\partial f_4}{\partial x_2} \cdot d \cdot b - \frac{\partial f_4}{\partial x_4} \cdot c \cdot d \end{bmatrix} = \begin{bmatrix} -b \cdot d \\ 0 \\ c \cdot d \\ 0 \end{bmatrix} \end{aligned}$$



Exemplo 13.14:

1 Condições de existência de solução:

► $V = \text{span}\{\mathbf{g}, \text{ad}_f \mathbf{g}, \text{ad}_f^2 \mathbf{g}\}$ é involutivo?

► $G(\mathbf{x}) = [\mathbf{g}, \text{ad}_f \mathbf{g}, \text{ad}_f^2 \mathbf{g}, \text{ad}_f^3 \mathbf{g}]$ tem *rank* 4?

■ V é involutivo?

$$V = \text{span} \left\{ \begin{bmatrix} 0 \\ 0 \\ 0 \\ d \end{bmatrix}, \begin{bmatrix} 0 \\ 0 \\ -d \\ 0 \end{bmatrix}, \begin{bmatrix} 0 \\ d \cdot b \\ 0 \\ -c \cdot d \end{bmatrix} \right\} \text{ é involutivo. } [v_i, v_j] = 0$$

■ G tem *rank* 4?

$$\text{rank}(G) = \text{rank} \left(\begin{bmatrix} 0 & 0 & 0 & -b \cdot d \\ 0 & 0 & d \cdot b & 0 \\ 0 & -d & 0 & c \cdot d \\ d & 0 & -c \cdot d & 0 \end{bmatrix} \right) = 4 \text{ válido para todo domínio.}$$



Exemplo 13.14:

$$\begin{bmatrix} \dot{x}_1 \\ \dot{x}_2 \\ \dot{x}_3 \\ \dot{x}_4 \end{bmatrix} = \begin{bmatrix} x_2 \\ -a \cdot \sin(x_1) - b \cdot (x_1 - x_3) \\ x_4 \\ c \cdot (x_1 - x_3) \end{bmatrix} + \begin{bmatrix} 0 \\ 0 \\ 0 \\ d \end{bmatrix} \cdot u$$

$\dot{\mathbf{x}} = \mathbf{f}(\mathbf{x}) + \mathbf{g}(\mathbf{x}) \cdot u$
 $\mathbf{f}(\mathbf{x})$ e $\mathbf{g}(\mathbf{x}) \rightarrow$
campos vetoriais.

Sistema a ser resolvido:

$$\begin{cases} L_{\mathbf{g}}h(\mathbf{x}) = 0 \\ L_{\mathbf{g}}L_{\mathbf{f}}h(\mathbf{x}) = 0 \\ L_{\mathbf{g}}L_{\mathbf{f}}^2h(\mathbf{x}) = 0 \\ L_{\mathbf{g}}L_{\mathbf{f}}^3h(\mathbf{x}) = \gamma(\mathbf{x}) \neq 0 \end{cases}$$

$$\begin{cases} \nabla \mathbf{h} \cdot \mathbf{g} = 0 \\ \nabla \mathbf{h} \cdot \text{ad}_{\mathbf{f}}\mathbf{g} = 0 \\ \nabla \mathbf{h} \cdot \text{ad}_{\mathbf{f}}^2\mathbf{g} = 0 \\ \nabla \mathbf{h} \cdot \text{ad}_{\mathbf{f}}^3\mathbf{g} \neq 0 \end{cases}$$

$$h(0) = 0$$

$$\nabla \mathbf{h} \cdot \mathbf{g} = \begin{bmatrix} \frac{\partial h}{\partial x_1} & \frac{\partial h}{\partial x_2} & \frac{\partial h}{\partial x_3} & \frac{\partial h}{\partial x_4} \end{bmatrix} \cdot \begin{bmatrix} 0 \\ 0 \\ 0 \\ d \end{bmatrix} = \frac{\partial h}{\partial x_4} \cdot d = 0 \rightarrow \frac{\partial h}{\partial x_4} = 0$$



Exemplo 13.14:

$$\nabla \mathbf{h} \cdot \text{ad}_f \mathbf{g} = 0$$

$$\begin{bmatrix} \frac{\partial h}{\partial x_1} & \frac{\partial h}{\partial x_2} & \frac{\partial h}{\partial x_3} & \frac{\partial h}{\partial x_4} \end{bmatrix} \cdot \begin{bmatrix} 0 \\ 0 \\ -d \\ 0 \end{bmatrix} = -\frac{\partial h}{\partial x_3} \cdot d = 0 \rightarrow \frac{\partial h}{\partial x_3} = 0$$

$$\nabla \mathbf{h} \cdot \text{ad}_f^2 \mathbf{g} = 0$$

$$\begin{bmatrix} \frac{\partial h}{\partial x_1} & \frac{\partial h}{\partial x_2} & \frac{\partial h}{\partial x_3} & \frac{\partial h}{\partial x_4} \end{bmatrix} \cdot \begin{bmatrix} 0 \\ d \cdot b \\ 0 \\ -c \cdot d \end{bmatrix} = \frac{\partial h}{\partial x_2} \cdot d \cdot b - \cancel{\frac{\partial h}{\partial x_4} \cdot c \cdot d} = 0$$

$$\frac{\partial h}{\partial x_2} = 0$$



Exemplo 13.14:

$$\nabla \mathbf{h} \cdot \text{ad}_f^3 \mathbf{g} \neq 0$$

$$\begin{bmatrix} \frac{\partial h}{\partial x_1} & \frac{\partial h}{\partial x_2} & \frac{\partial h}{\partial x_3} & \frac{\partial h}{\partial x_4} \end{bmatrix} \cdot \begin{bmatrix} -b \cdot d \\ 0 \\ c \cdot d \\ 0 \end{bmatrix} = -\frac{\partial h}{\partial x_1} \cdot b \cdot d - \cancel{\frac{\partial h}{\partial x_3} \cdot c \cdot d}^0 = 0$$

$$\frac{\partial h}{\partial x_1} \neq 0$$



Exemplo 13.14:

Resumo

$$\frac{\partial h}{\partial x_4} = 0 \quad \frac{\partial h}{\partial x_3} = 0 \quad \frac{\partial h}{\partial x_2} = 0$$

$$h(0) = 0$$

Proposta: $h = x_1$

$$\mathbf{z} = T(\mathbf{x}) = \begin{bmatrix} z_1 \\ z_2 \\ z_3 \\ z_4 \end{bmatrix} = \begin{bmatrix} h(\mathbf{x}) \\ L_f h \\ L_f^2 h \\ L_f^3 h \end{bmatrix} = \begin{bmatrix} x_1 \\ x_2 \\ -a \cdot \sin(x_1) - b \cdot (x_1 - x_3) \\ -a \cdot x_2 \cdot \cos(x_1) - b \cdot (x_2 - x_4) \end{bmatrix}$$

É difeomorfismo?



Exemplo 13.14:

$$\mathbf{z} = T(\mathbf{x}) = \begin{bmatrix} z_1 \\ z_2 \\ z_3 \\ z_4 \end{bmatrix} = \begin{bmatrix} h(\mathbf{x}) \\ L_f h \\ L_f^2 h \\ L_f^3 h \end{bmatrix} = \begin{bmatrix} x_1 \\ x_2 \\ -a \cdot \sin(x_1) - b \cdot (x_1 - x_3) \\ -a \cdot x_2 \cdot \cos(x_1) - b \cdot (x_2 - x_4) \end{bmatrix}$$

$$\mathbf{x} = T^{-1}(\mathbf{z}) = \begin{bmatrix} x_1 \\ x_2 \\ x_3 \\ x_4 \end{bmatrix} = \begin{bmatrix} z_1 \\ z_2 \\ \frac{z_3 + a \cdot \sin(z_3)}{b} + z_1 \\ \frac{z_4 + a \cdot \sin(z_2) \cdot \cos(z_1)}{b} + z_2 \end{bmatrix}$$



Exemplo 13.14:

$$\mathbf{z} = T(\mathbf{z}) = \begin{bmatrix} z_1 \\ z_2 \\ z_3 \\ z_4 \end{bmatrix} = \begin{bmatrix} h(x) \\ L_f h \\ L_f^2 h \\ L_f^3 h \end{bmatrix} = \begin{bmatrix} x_1 \\ x_2 \\ -a \cdot \sin(x_1) - b \cdot (x_1 - x_3) \\ -a \cdot x_2 \cdot \cos(x_1) - b \cdot (x_2 - x_4) \end{bmatrix}$$

$$\begin{bmatrix} \dot{z}_1 \\ \dot{z}_2 \\ \dot{z}_3 \\ \dot{z}_4 \end{bmatrix} = \begin{bmatrix} z_2 \\ z_3 \\ z_4 \\ -(a \cdot \cos(z_1) + b + c) \cdot z_3 + a \cdot (z_2^2 - c) \cdot \sin(z_1) + b \cdot d \cdot u \end{bmatrix}$$

■ Lei de controle:

$$u = \frac{1}{b \cdot d} \cdot ((a \cdot \cos(z_1) + b + c) \cdot z_3 - a \cdot (z_2^2 - c) \cdot \sin(z_1) - \mathbf{K} \cdot \mathbf{z})$$

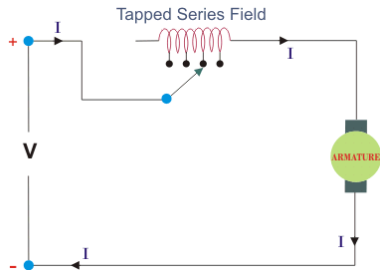


Exemplo 13.15: motor sem amortecimento no eixo

$$\begin{cases} \frac{di_f(t)}{dt} = -\frac{R_f}{L_f} \cdot i_f(t) + \frac{v_f(t)}{L_f} \\ \frac{di_a(t)}{dt} = -\frac{R_a}{L_a} \cdot i_a(t) - \frac{c_1}{L_a} \cdot i_f(t) \cdot w(t) + \frac{v_a(t)}{L_a} \\ \frac{dw(t)}{dt} = \frac{c_2}{J} \cdot i_f(t) \cdot i_a(t) - c_3 \cdot w \end{cases}$$

$$c_3 = 0$$

Projete um controlador (caso regulador) para a velocidade angular do rotor, $w(t)$, utilizando como variável manipulada a tensão do circuito externo $v_f(t)$.



Exemplo 13.15: motor sem amortecimento no eixo

$$\begin{cases} \frac{di_f(t)}{dt} = -\frac{R_f}{L_f} \cdot i_f(t) + \frac{v_f(t)}{L_f} \\ \frac{di_a(t)}{dt} = -\frac{R_a}{L_a} \cdot i_a(t) - \frac{c_1}{L_a} \cdot i_f(t) \cdot w(t) + \frac{v_a(t)}{L_a} \\ \frac{dw(t)}{dt} = \frac{c_2}{J} \cdot i_f(t) \cdot i_a(t) - c_3 \cdot w \end{cases}$$

$$c_3 = 0$$

$$\begin{cases} \dot{x}_1 = -a \cdot x_1 + u \\ \dot{x}_2 = -b \cdot x_2 + k - c \cdot x_1 \cdot x_3 \\ \dot{x}_3 = \theta \cdot x_1 \cdot x_2 \end{cases}$$

$$\begin{aligned} x_1 &= i_f & u &= \frac{v_f}{L_f} \\ x_2 &= i_a & k &= \frac{v_a}{L_a} \\ x_3 &= w \end{aligned}$$

Projete um controlador (caso regulador) para a velocidade angular do rotor, $w(t)$, utilizando como variável manipulada a tensão do circuito externo $v_{f(t)}$.

$$\begin{aligned} a &= \frac{R_f}{L_f} \\ b &= \frac{R_a}{L_a} \\ c &= \frac{c_1}{L_a} \\ \theta &= \frac{c_2}{J} \end{aligned}$$



Exemplo 13.15: motor sem amortecimento no eixo

$$\begin{cases} \dot{x}_1 = -a \cdot x_1 + u \\ \dot{x}_2 = -b \cdot x_2 + k - c \cdot x_1 \cdot x_3 \\ \dot{x}_3 = \theta \cdot x_1 \cdot x_2 \end{cases}$$

Sistema a ser resolvido:

$\dot{\mathbf{x}} = \mathbf{f}(\mathbf{x}) + \mathbf{g}(\mathbf{x}) \cdot u$
 $\mathbf{f}(\mathbf{x})$ e $\mathbf{g}(\mathbf{x}) \rightarrow$ campos
 vetoriais.

$$\begin{cases} L_{\mathbf{g}}h(\mathbf{x}) = 0 \\ L_{\mathbf{g}}L_{\mathbf{f}}h(\mathbf{x}) = 0 \\ L_{\mathbf{g}}L_{\mathbf{f}}^2h(\mathbf{x}) = \gamma(\mathbf{x}) \neq 0 \end{cases}$$

$$\begin{cases} \nabla \mathbf{h} \cdot \mathbf{g} = 0 \\ \nabla \mathbf{h} \cdot \text{ad}_{\mathbf{f}}\mathbf{g} = 0 \\ \nabla \mathbf{h} \cdot \text{ad}_{\mathbf{f}}^2\mathbf{g} \neq 0 \end{cases}$$

$$h([0, \frac{k}{b}, w_o]) = 0$$

1 Condições de existência de solução:

► $V = \text{span}\{\mathbf{g}, \text{ad}_{\mathbf{f}}\mathbf{g}\}$ é involutivo?

► $G(\mathbf{x}) = [\mathbf{g}, \text{ad}_{\mathbf{f}}\mathbf{g}, \text{ad}_{\mathbf{f}}^2\mathbf{g}]$ tem rank 3?



Exemplo 13.15: motor sem amortecimento no eixo

1 Condições de existência de solução:

- ▶ $V = \text{span}\{\mathbf{g}, \text{ad}_f \mathbf{g}\}$ é involutivo?

- ▶ $G(\mathbf{x}) = [\mathbf{g}, \text{ad}_f \mathbf{g}, \text{ad}_f^2 \mathbf{g}]$ tem rank 3?

$$\text{ad}_f \mathbf{g} = \frac{\partial \mathbf{g}}{\partial \mathbf{x}} \cdot \mathbf{f}(\mathbf{x}) - \frac{\partial \mathbf{f}}{\partial \mathbf{x}} \cdot \mathbf{g}(\mathbf{x}) = - \begin{bmatrix} \frac{\partial f_1}{\partial x_1} & \frac{\partial f_1}{\partial x_2} & \frac{\partial f_1}{\partial x_3} \\ \frac{\partial f_2}{\partial x_1} & \frac{\partial f_2}{\partial x_2} & \frac{\partial f_2}{\partial x_3} \\ \frac{\partial f_3}{\partial x_1} & \frac{\partial f_3}{\partial x_2} & \frac{\partial f_3}{\partial x_3} \end{bmatrix} \cdot \begin{bmatrix} 1 \\ 0 \\ 0 \end{bmatrix} = \begin{bmatrix} a \\ c \cdot x_3 \\ -\theta \cdot x_2 \end{bmatrix}$$



Exemplo 13.15: motor sem amortecimento no eixo

1 Condições de existência de solução:

- ▶ $V = \text{span}\{\mathbf{g}, \text{ad}_f \mathbf{g}\}$ é involutivo?

- ▶ $G(\mathbf{x}) = [\mathbf{g}, \text{ad}_f \mathbf{g}, \text{ad}_f^2 \mathbf{g}]$ tem *rank* 3?

$$\text{ad}_f^2 \mathbf{g} = \frac{\partial \text{ad}_f \mathbf{g}}{\partial \mathbf{x}} \cdot \mathbf{f}(\mathbf{x}) - \frac{\partial \mathbf{f}}{\partial \mathbf{x}} \cdot \text{ad}_f \mathbf{g}$$
$$\text{ad}_f^2 \mathbf{g} = \begin{bmatrix} a^2 \\ c \cdot x_3 \cdot (a + b) \\ \theta \cdot x_2 \cdot (b - a) - k \cdot \theta \end{bmatrix}$$



Exemplo 13.15: motor sem amortecimento no eixo

1 Condições de existência de solução:

► $V = \text{span}\{\mathbf{g}, \text{ad}_f \mathbf{g}\}$ é involutivo?

► $G(\mathbf{x}) = [\mathbf{g}, \text{ad}_f \mathbf{g}, \text{ad}_f^2 \mathbf{g}]$ tem rank 3?

■ V é involutivo?

$$V = \text{span} \left\{ \begin{bmatrix} 1 \\ 0 \\ 0 \end{bmatrix}, \begin{bmatrix} a \\ c \cdot x_3 \\ -\theta \cdot x_2 \end{bmatrix} \right\}$$

$$[\mathbf{g}, \text{ad}_f \mathbf{g}] = \frac{\partial \text{ad}_f \mathbf{g}}{\partial \mathbf{x}} \cdot \mathbf{g} - \frac{\partial \mathbf{g}}{\partial \mathbf{x}} \cdot \text{ad}_f \mathbf{g} = \frac{\partial \text{ad}_f \mathbf{g}}{\partial \mathbf{x}} \cdot \mathbf{g}$$

$$[\mathbf{g}, \text{ad}_f \mathbf{g}] = \begin{bmatrix} 0 & 0 & 0 \\ 0 & 0 & c \\ 0 & -\theta & 0 \end{bmatrix} \cdot \begin{bmatrix} 1 \\ 0 \\ 0 \end{bmatrix} = \begin{bmatrix} 0 \\ 0 \\ 0 \end{bmatrix} \in V \rightarrow \text{é involutivo}$$



Exemplo 13.15: motor sem amortecimento no eixo

1 Condições de existência de solução:

► $V = \text{span}\{\mathbf{g}, \text{ad}_f \mathbf{g}\}$ é involutivo?

► $G(\mathbf{x}) = [\mathbf{g}, \text{ad}_f \mathbf{g}, \text{ad}_f^2 \mathbf{g}]$ tem $\text{rank } 3$?

■ G tem $\text{rank } 3$? (Colunas independentes)

$$\mathbf{G} = \begin{bmatrix} 1 & a & a^2 \\ 0 & c \cdot x_3 & c \cdot x_3 \cdot (a + b) \\ 0 & -\theta \cdot x_2 & \theta \cdot x_2 \cdot (b - a) - k \cdot \theta \end{bmatrix}$$

$$\det = c \cdot \theta \cdot x_3 \cdot (2 \cdot x_2 \cdot b - k) \neq 0 \begin{cases} x_3 \neq 0 \\ x_2 \neq \frac{k}{2 \cdot b} \end{cases}$$

$D_0 = \left\{ \mathbf{x} \in \mathbb{R}^3 \mid x_2 > \frac{k}{2 \cdot b}, x_3 > 0 \right\} \rightarrow$ Domínio no qual a transformação é válida.



Exemplo 13.15: motor sem amortecimento no eixo

$$\begin{cases} \dot{x}_1 = -a \cdot x_1 + u \\ \dot{x}_2 = -b \cdot x_2 + k - c \cdot x_1 \cdot x_3 \\ \dot{x}_3 = \theta \cdot x_1 \cdot x_2 \end{cases}$$

Sistema a ser resolvido:

$\dot{\mathbf{x}} = \mathbf{f}(\mathbf{x}) + \mathbf{g}(\mathbf{x}) \cdot u$
 $\mathbf{f}(\mathbf{x})$ e $\mathbf{g}(\mathbf{x}) \rightarrow$ campos
 vetoriais.

$$\begin{cases} L_g h(\mathbf{x}) = 0 \\ L_g L_f h(\mathbf{x}) = 0 \\ L_g L_f^2 h(\mathbf{x}) = \gamma(\mathbf{x}) \neq 0 \end{cases}$$

$$\begin{cases} \nabla \mathbf{h} \cdot \mathbf{g} = 0 \\ \nabla \mathbf{h} \cdot \text{ad}_f \mathbf{g} = 0 \\ \nabla \mathbf{h} \cdot \text{ad}_f^2 \mathbf{g} \neq 0 \end{cases} \quad h(0) = 0$$

$$\nabla \mathbf{h} \cdot \mathbf{g} = \begin{bmatrix} \frac{\partial h}{\partial x_1} & \frac{\partial h}{\partial x_2} & \frac{\partial h}{\partial x_3} \end{bmatrix} \cdot \begin{bmatrix} 1 \\ 0 \\ 0 \end{bmatrix} = 0 \rightarrow \frac{\partial h}{\partial x_1} = 0$$



Exemplo 13.15: motor sem amortecimento no eixo

$$\nabla h \cdot \text{ad}_f g = 0$$

$$\begin{bmatrix} \frac{\partial h}{\partial x_1} & \frac{\partial h}{\partial x_2} & \frac{\partial h}{\partial x_3} \end{bmatrix} \cdot \begin{bmatrix} a \\ c \cdot x_3 \\ -\theta \cdot x_2 \end{bmatrix} = 0$$

$$\frac{\partial h}{\partial x_2} \cdot c \cdot x_3 = \theta \cdot x_2 \cdot \frac{\partial h}{\partial x_3} = \lambda(x_2, x_3)$$

$$h = \theta \cdot x_2^2 + c \cdot x_3^2 - \theta \cdot \left(\frac{k}{b}\right)^2 - c \cdot (w_o)^2$$

$$h([0, \frac{k}{b}, w_o]) = 0 \rightarrow h = \theta \cdot x_2^2 + c \cdot x_3^2 - \theta \cdot \left(\frac{k}{b}\right)^2 - c \cdot (w_o)^2$$



Exemplo 13.15: motor sem amortecimento no eixo

$$\nabla \mathbf{h} \cdot \text{ad}_{\mathbf{f}}^2 \mathbf{g} \neq 0$$

$$\begin{aligned} & \left[\frac{\partial h}{\partial x_1} \quad \frac{\partial h}{\partial x_2} \quad \frac{\partial h}{\partial x_3} \right] \cdot \begin{bmatrix} a^2 \\ c \cdot x_3 \cdot (a + b) \\ \theta \cdot x_2(b - a) - k \cdot \theta \end{bmatrix} \neq 0 \\ & \frac{\partial h}{\partial x_2} \cdot c \cdot x_3 \cdot (a + b) + \frac{\partial h}{\partial x_3} \cdot [\theta \cdot x_2(b - a) - k \cdot \theta] \neq 0 \\ & 2 \cdot \theta \cdot c \cdot x_3 \cdot (2 \cdot x_2 \cdot b - k) \neq 0 \\ & \begin{cases} x_3 \neq 0 \\ x_2 \neq \frac{k}{2 \cdot b} \end{cases} \rightarrow \text{é atendido em } D_0. \end{aligned}$$



Exemplo 13.15: motor sem amortecimento no eixo

Resumo

$$h = \theta \cdot x_2^2 + c \cdot x_3^2 - \theta \cdot \left(\frac{k}{b}\right)^2 - c \cdot (w_o)^2$$

$$D_0 = \left\{ \mathbf{x} \in \mathbb{R}^3 \left| x_2 > \frac{k}{2 \cdot b}, x_3 > 0 \right. \right\} \rightarrow \text{Domínio no qual a transformação é válida.}$$

$$\mathbf{z} = T(\mathbf{x}) = \begin{bmatrix} z_1 \\ z_2 \\ z_3 \end{bmatrix} = \begin{bmatrix} h(\mathbf{x}) \\ L_f h \\ L_f^2 h \end{bmatrix} = \begin{bmatrix} \theta \cdot x_2^2 + c \cdot x_3^2 - \theta \cdot \left(\frac{k}{b}\right)^2 - c \cdot (w_o)^2 \\ -2 \cdot \theta \cdot b \cdot x_2^2 + 2 \cdot \theta \cdot k \cdot x_2 \\ 2 \cdot \theta \cdot (k - 2 \cdot b \cdot x_2) \cdot (-b \cdot x_2 + k - c \cdot x_1 \cdot x_3) \end{bmatrix}$$

É difeomorfismo?



Exemplo 13.15: motor sem amortecimento no eixo

$$\mathbf{z} = T(\mathbf{x}) = \begin{bmatrix} z_1 \\ z_2 \\ z_3 \end{bmatrix} = \begin{bmatrix} \theta \cdot x_2^2 + c \cdot x_3^2 - \theta \cdot \left(\frac{k}{b}\right)^2 - c \cdot (w_0)^2 \\ -2 \cdot \theta \cdot b \cdot x_2^2 + 2 \cdot \theta \cdot k \cdot x_2 \\ 2 \cdot \theta \cdot (k - 2 \cdot b \cdot x_2) \cdot (-b \cdot x_2 + k - c \cdot x_1 \cdot x_3) \end{bmatrix}$$

$$\mathbf{x} = T^{-1}(\mathbf{z}) = \begin{bmatrix} x_1 \\ x_2 \\ x_3 \end{bmatrix} = \begin{bmatrix} \frac{\frac{z_3}{2 \cdot \theta (k - 2 \cdot b \cdot x_2(z_2))} - k + b \cdot x_2(z_2)}{-c \cdot x_3(z_1, z_2)} \\ \frac{2 \cdot \theta \cdot k + \sqrt{4 \cdot \theta^2 \cdot k^2 - 8 \cdot \theta \cdot b \cdot z_2}}{4 \cdot \theta \cdot b} \\ \sqrt{\frac{z_1 + c \cdot w_0^2 + \theta \cdot (k/b)^2 - \theta x_2(z_2)}{c}} \end{bmatrix}$$

$$D_0 = \{ \mathbf{x} \in \mathbb{R}^3 \mid x_2 > k/(2 \cdot b), x_3 > 0 \}$$

$$D_z = \left\{ \mathbf{z} \in \mathbb{R}^3 \mid z_1 > \theta \cdot x_2(z_2) - c \cdot w_0^2 - \theta \cdot (k/b)^2, z_2 < \frac{\theta \cdot k^2}{2 \cdot b} \right\}$$



Exemplo 13.15: motor sem amortecimento no eixo

$$\begin{cases} \dot{x}_1 = -a \cdot x_1 + u \\ \dot{x}_2 = -b \cdot x_2 + k - c \cdot x_1 \cdot x_3 \\ \dot{x}_3 = \theta \cdot x_1 \cdot x_2 \end{cases}$$

$\dot{\mathbf{x}} = \mathbf{f}(\mathbf{x}) + \mathbf{g}(\mathbf{x}) \cdot u$
 $\mathbf{f}(\mathbf{x})$ e $\mathbf{g}(\mathbf{x}) \rightarrow$ campos
 vetoriais.

$$\mathbf{z} = T(\mathbf{x}) = \begin{bmatrix} z_1 \\ z_2 \\ z_3 \end{bmatrix} = \begin{bmatrix} \theta \cdot x_2^2 + c \cdot x_3^2 - \theta \cdot \left(\frac{k}{b}\right)^2 - c \cdot (w_o)^2 \\ -2 \cdot \theta \cdot b \cdot x_2^2 + 2 \cdot \theta \cdot k \cdot x_2 \\ 2 \cdot \theta \cdot (k - 2 \cdot b \cdot x_2) \cdot (-b \cdot x_2 + k - c \cdot x_1 \cdot x_3) \end{bmatrix}$$

Lei de controle: $u = \frac{1}{L_g L_f^2 h} \cdot (-L_f^3 h - \mathbf{K} \cdot \mathbf{z})$



Caso servo

Assuma r uma referência, tal que y rastreie r :

- $r, \dots, r^{(\rho)}$ estão disponíveis
- pode se utilizar um modelo para r

$$\begin{aligned}\dot{\phi} &= \phi(\phi, \xi) \\ \dot{\xi} &= \mathbf{A}_c \cdot \xi + \mathbf{B}_c \cdot \gamma(\mathbf{x}) \cdot (u - \alpha(\mathbf{x})) \\ y &= \mathbf{C}_c \cdot \xi\end{aligned}$$

$$\begin{bmatrix} e_1 \\ e_2 \\ \vdots \\ e_\rho \end{bmatrix} = \begin{bmatrix} \xi_1 \\ \xi_2 \\ \vdots \\ \xi_\rho \end{bmatrix} - \begin{bmatrix} r \\ \dot{r} \\ \vdots \\ r^{(\rho-1)} \\ r \end{bmatrix} \rightarrow \mathbf{e} = \xi - \mathbf{R}$$

$$\begin{bmatrix} \dot{e}_1 \\ \vdots \\ \dot{e}_\rho \end{bmatrix} = \begin{bmatrix} \dot{\xi}_1 \\ \vdots \\ \dot{\xi}_\rho \end{bmatrix} - \begin{bmatrix} \dot{r} \\ \vdots \\ r^{(\rho)} \\ r \end{bmatrix} = \mathbf{A}_c \cdot \xi + \mathbf{B}_c \cdot \gamma(\mathbf{x}) \cdot (u - \alpha(\mathbf{x})) - \begin{bmatrix} \dot{r} \\ \vdots \\ r^{(\rho)} \\ r \end{bmatrix}$$



Caso servo

$$\mathbf{e} = \boldsymbol{\xi} - \mathbf{R} \quad \dot{\mathbf{e}} = \mathbf{A}_c \cdot \boldsymbol{\xi} + \mathbf{B}_c \cdot \gamma(\mathbf{x}) \cdot (u - \alpha(\mathbf{x})) - \dot{\mathbf{R}}$$

$$\dot{\mathbf{e}} = \mathbf{A}_c \cdot (\mathbf{e} + \mathbf{R}) + \mathbf{B}_c \cdot \gamma(\mathbf{x}) \cdot (u - \alpha(\mathbf{x})) - \begin{bmatrix} \dot{r} \\ \vdots \\ {}^{(\rho)}r \end{bmatrix}$$

$$\dot{\mathbf{e}} = \mathbf{A}_c \cdot \mathbf{e} + \mathbf{B}_c \cdot \gamma(\mathbf{x}) \cdot (u - \alpha(\mathbf{x})) + \mathbf{A}_c \cdot \mathbf{R} - \begin{bmatrix} \dot{r} \\ \vdots \\ {}^{(\rho)}r \end{bmatrix}$$

$$\dot{\mathbf{e}} = \mathbf{A}_c \cdot \mathbf{e} + \mathbf{B}_c \cdot \gamma(\mathbf{x}) \cdot (u - \alpha(\mathbf{x})) - \begin{bmatrix} 0 \\ \vdots \\ {}^{(\rho)}r \end{bmatrix}$$

$$\dot{\mathbf{e}} = \mathbf{A}_c \cdot \mathbf{e} + \mathbf{B}_c \cdot \left[\gamma(\mathbf{x}) \cdot (u - \alpha(\mathbf{x})) - {}^{(\rho)}r \right]$$



Caso servo

Resumo

$$\dot{\phi} = \phi(\phi, \mathbf{e} + \mathbf{R})$$

$$\dot{\mathbf{e}} = \mathbf{A}_c \cdot \mathbf{e} + \mathbf{B}_c \cdot \left[\gamma(\mathbf{x}) \cdot (u - \alpha(\mathbf{x})) - \overset{(\rho)}{r} \right]$$

$$\mathbf{e} = \boldsymbol{\xi} - \mathbf{R}$$

Lei de controle:

$$u = \alpha(\mathbf{x}) - \gamma(\mathbf{x})^{-1} \cdot K \cdot \mathbf{e} + \gamma^{-1} \cdot \overset{(\rho)}{r}$$

$$u = \alpha(\mathbf{x}) + \gamma(\mathbf{x})^{-1} \cdot \left[-K \cdot (\boldsymbol{\xi} - \mathbf{R}) + \overset{(\rho)}{r} \right]$$

Malha fechada:

$$\dot{\phi} = \phi(\phi, \mathbf{e} + \mathbf{R})$$

$$\dot{\mathbf{e}} = (\mathbf{A}_c - \mathbf{B}_c \cdot K) \cdot \mathbf{e}$$

$$\mathbf{e} = \boldsymbol{\xi} - \mathbf{R}$$



Exemplo 13.21: Pêndulo

$$\begin{cases} \dot{\theta} = x_2 \\ \ddot{\theta} = -\frac{g}{l} \cdot \sin(x_1) - \frac{k}{m} \cdot x_2 + \frac{1}{m \cdot l^2} \cdot T \end{cases} \quad \begin{cases} \dot{x}_1 = x_2 \\ \dot{x}_2 = -a \cdot \sin(x_1) - b \cdot x_2 + c \cdot u \end{cases}$$

$y = \theta$ $y = x_1$

Está no formato padrão:

$$\begin{bmatrix} \dot{x}_1 \\ \dot{x}_2 \end{bmatrix} = \begin{bmatrix} 0 & 1 \\ 0 & 0 \end{bmatrix} \cdot \begin{bmatrix} x_1 \\ x_2 \end{bmatrix} + \begin{bmatrix} 0 \\ 1 \end{bmatrix} \cdot (c \cdot u - a \cdot \sin(x_1) - b \cdot x_2)$$

$\xi = \mathbf{x}$ (origem é ponto de equilíbrio)

$$\begin{aligned} \begin{bmatrix} e_1 \\ e_2 \end{bmatrix} &= \begin{bmatrix} x_1 \\ x_2 \end{bmatrix} - \begin{bmatrix} r \\ \dot{r} \end{bmatrix} = \begin{bmatrix} x_1 - r \\ x_2 - \dot{r} \end{bmatrix} \\ \begin{bmatrix} \dot{e}_1 \\ \dot{e}_2 \end{bmatrix} &= \begin{bmatrix} x_2 \\ -a \cdot \sin(x_1) - b \cdot x_2 + c \cdot u \end{bmatrix} - \begin{bmatrix} \dot{r} \\ \ddot{r} \end{bmatrix} \\ \begin{bmatrix} \dot{e}_1 \\ \dot{e}_2 \end{bmatrix} &= \begin{bmatrix} e_2 + \dot{r} \\ -a \cdot \sin(x_1) - b \cdot x_2 + c \cdot u \end{bmatrix} - \begin{bmatrix} \dot{r} \\ \ddot{r} \end{bmatrix} \end{aligned}$$



Exemplo 13.21: Pêndulo

$$\begin{bmatrix} e_1 \\ e_2 \end{bmatrix} = \begin{bmatrix} x_1 \\ x_2 \end{bmatrix} - \begin{bmatrix} r \\ \dot{r} \end{bmatrix} = \begin{bmatrix} x_1 - r \\ x_2 - \dot{r} \end{bmatrix}$$

$$\begin{bmatrix} \dot{e}_1 \\ \dot{e}_2 \end{bmatrix} = \begin{bmatrix} e_2 + \dot{r} \\ -a \cdot \sin(x_1) - b \cdot x_2 + c \cdot u \end{bmatrix} - \begin{bmatrix} \dot{r} \\ \ddot{r} \end{bmatrix}$$

$$\begin{bmatrix} \dot{e}_1 \\ \dot{e}_2 \end{bmatrix} = \begin{bmatrix} e_2 \\ c \cdot u - a \cdot \sin(x_1) - b \cdot x_2 - \ddot{r} \end{bmatrix}$$

$$\begin{bmatrix} \dot{e}_1 \\ \dot{e}_2 \end{bmatrix} = \begin{bmatrix} 0 & 1 \\ 0 & 0 \end{bmatrix} \cdot \begin{bmatrix} e_1 \\ e_2 \end{bmatrix} + \begin{bmatrix} 0 \\ 1 \end{bmatrix} \cdot (c \cdot u - a \cdot \sin(x_1) - b \cdot x_2 - \ddot{r})$$

Lei de controle: $u = \frac{1}{c} \cdot (a \cdot \sin(x_1) + b \cdot x_2 + \ddot{r} - k_1 \cdot e_1 - k_2 \cdot e_2)$

Malha fechada:

$$\begin{bmatrix} \dot{e}_1 \\ \dot{e}_2 \end{bmatrix} = \begin{bmatrix} 0 & 1 \\ -k_1 & -k_2 \end{bmatrix} \cdot \begin{bmatrix} e_1 \\ e_2 \end{bmatrix}$$

Comportamento de r :

$$\frac{r}{w} = \frac{K \cdot w_n^2}{s^2 + 2 \cdot \zeta \cdot w_n \cdot s + w_n^2}$$



Observação 1: Dinâmica de ϕ

Considere, o sistema parcialmente linearizável:

$$\begin{cases} \dot{\phi} = \phi(\phi, \xi) \\ \dot{\xi} = \mathbf{A} \cdot \xi + \mathbf{B} \cdot \gamma(\mathbf{x}) \cdot [u - \alpha(\mathbf{x})] \end{cases} \quad \mathbf{z} = \mathbf{T}(\mathbf{x}) = \begin{bmatrix} \phi \\ \xi \end{bmatrix}$$

lei de controle *feedback*

Objetivo: estabilizar a origem do sistema ($\mathbf{z}=0$).

$u = \alpha(\mathbf{x}) - \gamma(\mathbf{x})^{-1} \cdot \mathbf{K} \cdot \xi \rightarrow (\mathbf{A} - \mathbf{B} \cdot \mathbf{K})$ seja Hurwitz.

Importante

Sabendo que o sistema linearizável por *feedback* entrada-saída é de fase mínima globalmente, não garante que a lei de controle ($u = \alpha(\mathbf{x}) - \gamma(\mathbf{x})^{-1} \cdot \mathbf{K} \cdot \xi$) irá estabilizar o sistema globalmente.



Exemplo 13.16:

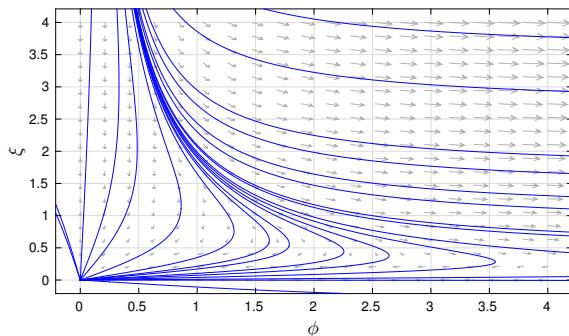
Malha fechada:

$$\begin{cases} \dot{\phi} = \phi \cdot (\phi \cdot \xi - 1) \\ \dot{\xi} = -K \cdot \xi \end{cases}$$

É de fase mínima? \rightarrow SIM

$\dot{\phi} = -\phi \rightarrow$ estável globalmente, quando $\xi = 0$

E o que ocorre durante a dinâmica?



A origem não é estável globalmente.

Solução?

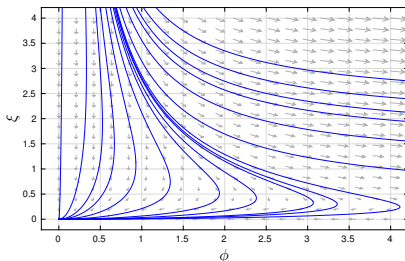
Sintonizar de tal forma que ξ decaia rapidamente.



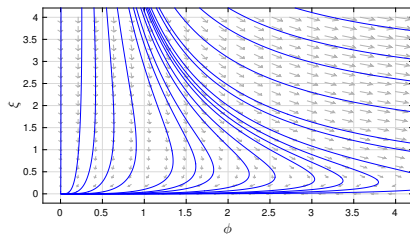
Exemplo 13.16:

Malha fechada:

$$\begin{cases} \dot{\phi} = \phi \cdot (\phi \cdot \xi - 1) \\ \dot{\xi} = -K \cdot \xi \end{cases}$$



$K = 2$



$K = 4$

Com o aumento de K , ξ decai mais rápido, o que pode ser uma solução para o efeito de pico. Entretanto, esta estratégia ainda pode falhar.



Observação 2: robustez

Importante

Linearização por *feedback* provê um método “simples” e sistemático para estabilizar **uma classe** de sistemas não lineares.

■ robustez?

■ eficiência?

Entretanto, o modelo é apenas uma aproximação da “realidade”:

$$\dot{\hat{\mathbf{z}}} = \hat{\mathbf{A}} \cdot \hat{\mathbf{z}} + \hat{\mathbf{B}} \cdot \hat{\gamma} \cdot [u - \hat{\alpha}] \quad u = \alpha - \gamma^{-1} \cdot \mathbf{K} \cdot \mathbf{z}$$

$$\dot{\hat{\mathbf{z}}} = \hat{\mathbf{A}} \cdot \hat{\mathbf{z}} + \hat{\mathbf{B}} \cdot \hat{\gamma} \cdot [\alpha - \gamma^{-1} \cdot \mathbf{K} \cdot \mathbf{z} - \hat{\alpha}]$$

$$\dot{\hat{\mathbf{z}}} = \hat{\mathbf{A}} \cdot \hat{\mathbf{z}} + \hat{\mathbf{B}} \cdot \hat{\gamma} \cdot [\alpha - \gamma^{-1} \cdot \mathbf{K} \cdot \mathbf{z} - \hat{\alpha}] - \hat{\mathbf{B}} \cdot \mathbf{K} \cdot \hat{\mathbf{z}} + \hat{\mathbf{B}} \cdot \mathbf{K} \cdot \hat{\mathbf{z}}$$

$$\dot{\hat{\mathbf{z}}} = \hat{\mathbf{A}} \cdot \hat{\mathbf{z}} - \hat{\mathbf{B}} \cdot \mathbf{K} \cdot \hat{\mathbf{z}} + \hat{\mathbf{B}} \cdot \hat{\gamma} \cdot [\alpha - \hat{\alpha} - \gamma^{-1} \cdot \mathbf{K} \cdot \mathbf{z} + \hat{\gamma}^{-1} \cdot \mathbf{K} \cdot \hat{\mathbf{z}}]$$

$$\dot{\hat{\mathbf{z}}} = (\hat{\mathbf{A}} - \hat{\mathbf{B}} \cdot \mathbf{K}) \cdot \hat{\mathbf{z}} + \hat{\mathbf{B}} \cdot \hat{\gamma} \cdot [\delta_{\alpha} - \gamma^{-1} \cdot \mathbf{K} \cdot \mathbf{z} + \hat{\gamma}^{-1} \cdot \mathbf{K} \cdot \hat{\mathbf{z}} + \gamma^{-1} \cdot \mathbf{K} \cdot \hat{\mathbf{z}} - \gamma^{-1} \cdot \mathbf{K} \cdot \hat{\mathbf{z}}]$$

$$\dot{\hat{\mathbf{z}}} = (\hat{\mathbf{A}} - \hat{\mathbf{B}} \cdot \mathbf{K}) \cdot \hat{\mathbf{z}} + \hat{\mathbf{B}} \cdot \hat{\gamma} \cdot [\delta_{\alpha} - \gamma^{-1} \cdot \mathbf{K} \cdot (\mathbf{z} - \hat{\mathbf{z}}) + (\hat{\gamma}^{-1} - \gamma^{-1}) \cdot \mathbf{K} \cdot \hat{\mathbf{z}}]$$

$$\dot{\hat{\mathbf{z}}} = (\hat{\mathbf{A}} - \hat{\mathbf{B}} \cdot \mathbf{K}) \cdot \hat{\mathbf{z}} + \hat{\mathbf{B}} \cdot \hat{\gamma} \cdot [\delta_{\alpha} - \gamma^{-1} \cdot \mathbf{K} \cdot \delta_{\mathbf{z}} + \delta_{\gamma^{-1}} \cdot \mathbf{K} \cdot \hat{\mathbf{z}}]$$



Observação 2: robustez

Resumo

$$\begin{aligned}\dot{\hat{\mathbf{z}}} &= (\hat{\mathbf{A}} - \hat{\mathbf{B}} \cdot \mathbf{K}) \cdot \hat{\mathbf{z}} + \hat{\mathbf{B}} \cdot \delta_{\mathbf{z}} \\ \delta_{\mathbf{z}} &= \hat{\gamma} \cdot [\delta_{\alpha} - \gamma^{-1} \cdot \mathbf{K} \cdot \delta_{\mathbf{z}} + \delta_{\gamma^{-1}} \cdot \mathbf{K} \cdot \hat{\mathbf{z}}]\end{aligned}$$

A malha fechada implementada perturba a malha fechada “real”:

$$\begin{cases} \dot{\phi} = \phi(\phi, \mathbf{z}) \\ \dot{\hat{\mathbf{z}}} = (\hat{\mathbf{A}} - \hat{\mathbf{B}} \cdot \mathbf{K}) \cdot \hat{\mathbf{z}} \end{cases}$$

Se $\delta_{\mathbf{z}}$ é pequeno, então não deve haver problemas.



Observação 2: robustez

Considere o sistema em malha fechada $\dot{\hat{\mathbf{z}}} = (\hat{\mathbf{A}} - \hat{\mathbf{B}} \cdot \mathbf{K}) \cdot \hat{\mathbf{z}} + \hat{\mathbf{B}} \cdot \delta_{\mathbf{z}}$ em que $(\hat{\mathbf{A}} - \hat{\mathbf{B}} \cdot \mathbf{K})$ é Hurwitz. Seja $\mathbf{P} = \mathbf{P}^T > 0$ a solução da equação de Lyapunov:

$$\mathbf{P} \cdot (\hat{\mathbf{A}} - \hat{\mathbf{B}} \cdot \mathbf{K}) + (\hat{\mathbf{A}} - \hat{\mathbf{B}} \cdot \mathbf{K})^T \cdot \mathbf{P} + \mathbf{I} = 0$$

e λ uma constante não negativa menor do que $\frac{1}{2\|\mathbf{P} \cdot \hat{\mathbf{B}}\|_2}$:

- Se $\|\delta_{\mathbf{z}}\| \leq \lambda \cdot \|\mathbf{z}\|$ para todo \mathbf{z} , a origem da malha fechada será globalmente exponencialmente estável
- $\|\delta_{\mathbf{z}}\| \leq \lambda \cdot \|\mathbf{z}\| + \epsilon$, para todo \mathbf{z} , o estado \mathbf{z} será globalmente limitado por $\epsilon \cdot c$ para algum $c > 0$.

Estimativas de λ e ϵ estão relacionadas ao erro relacionado à incerteza dos parâmetros do modelo.



Exemplo 13.18: pêndulo - controle regulatório

$x_1 = \text{ângulo} \mid x_2 = \text{velocidade}$

$$\dot{x}_1 = x_2$$

$$\dot{x}_2 = -a \cdot \sin(x_1) - b \cdot x_2 + c \cdot u$$

controle	planta
$a = 0,5$	$\hat{a} = 1,0$
$b = 1,0$	$\hat{b} = 1,0$
$c = 0,5$	$\hat{c} = 0,3$

Forma padrão:

$$\begin{bmatrix} \dot{x}_1 \\ \dot{x}_2 \end{bmatrix} = \begin{bmatrix} 0 & 1 \\ 0 & 0 \end{bmatrix} \cdot \begin{bmatrix} x_1 \\ x_2 \end{bmatrix} + \begin{bmatrix} 0 \\ 1 \end{bmatrix} \cdot c \left(u - \left(\frac{a \cdot \sin(x_1) + b \cdot x_2}{c} \right) \right)$$

$$\text{Lei de controle: } u = \left(\frac{a \cdot \sin(x_1) + b \cdot x_2}{c} \right) - \frac{1}{c} \cdot \begin{bmatrix} k_1 & k_2 \end{bmatrix} \cdot \begin{bmatrix} x_1 \\ x_2 \end{bmatrix}$$

Assuma: $\hat{x}_1 = x_1$, $\hat{x}_2 = x_2$, $b = \hat{b}$

$$\delta_x = \left(\frac{a \cdot \hat{c} - \hat{a} \cdot c}{c} \right) \cdot \sin(\hat{x}_1) - \left(\frac{\hat{c} - c}{c} \right) \cdot (k_1 \cdot \hat{x}_1 + k_2 \cdot \hat{x}_2)$$



Observação 3: cancelamento de não linearidades

É realmente necessário cancelar todas as não linearidades?

Em alguns casos, não-linearidades são benéficas e o seu cancelamento não deve ser automático!



Exemplo 13.19

$$\dot{x} = a \cdot x - b \cdot x^3 + u$$

Malha aberta: origem é ponto de equilíbrio instável

Lei de controle 1:

$$u = -a \cdot x + b \cdot x^3 - k \cdot x$$

Malha fechada:

$$\dot{x} = -k \cdot x$$

Função de Lyapunov:

$$V = x^2$$

$$\dot{V} = -2 \cdot k \cdot x^2$$

- origem é ponto de equilíbrio estável da malha fechada

Lei de controle 2:

$$u = -a \cdot x - k \cdot x$$

Malha fechada:

$$\dot{x} = -k \cdot x - b \cdot x^3$$

Função de Lyapunov:

$$V = x^2$$

$$\dot{V} = -2 \cdot (k \cdot x^2 + b \cdot x^4)$$

- origem é ponto de equilíbrio estável da malha fechada
- converge mais rapidamente para a origem do que o caso anterior



Sumário

- 1 Introdução
- 2 Controle por linearização
- 3 Controle por linearização - escalonamento de ganhos
- 4 *Feedback* linearizante
- 5 *Backstepping*



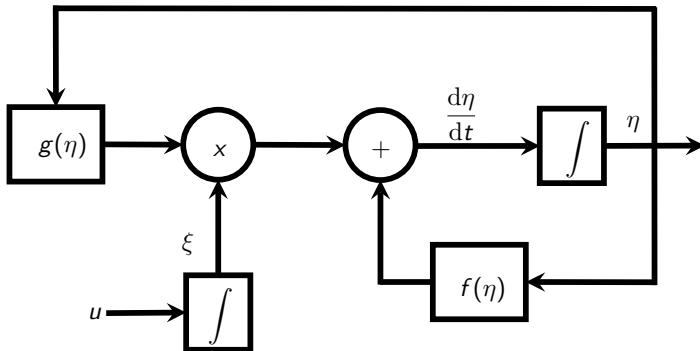
Backstepping

Forma padrão:

$$\dot{\eta} = f(\eta) + g(\eta) \cdot \xi$$

$$\dot{\xi} = u$$

f e g são suaves em algum domínio
 $D \in \mathbb{R}^n$ que contém $\eta = 0$ e
 $f(0) = 0$.



Backstepping

$$\begin{cases} \dot{\eta} = f(\eta) + g(\eta) \cdot \xi \\ \dot{\xi} = u \end{cases}$$

Considere, em primeiro momento, a primeira equação:

$$\dot{\eta} = f(\eta) + g(\eta) \cdot \xi$$

Assuma $\xi = \psi(\eta)$ ($\psi(0) = 0$) uma lei de controle que estabiliza η .

Malha fechada: $\dot{\eta} = f(\eta) + g(\eta) \cdot \psi(\eta)$

Espera-se: origem da malha fechada \rightarrow **assintoticamente estável**

Assuma: $V(\eta)$ uma função de Lyapunov para a malha fechada.

$$\frac{\partial V}{\partial t} = \frac{\partial V}{\partial \eta} \cdot \frac{\partial \eta}{\partial t}$$

$$\frac{\partial V}{\partial \eta} \cdot [f(\eta) + g(\eta) \cdot \psi(\eta)] \leq -W(\eta)$$

$W(\eta) \rightarrow$ positivo definido.

Como propor uma lei de controle (u) que estabiliza o sistema?



Backstepping

$$\begin{cases} \dot{\eta} = f(\eta) + g(\eta) \cdot \xi \\ \dot{\xi} = u \end{cases}$$

$$\dot{\eta} = f(\eta) + g(\eta) \cdot \xi$$

$$\dot{\eta} = f(\eta) + g(\eta) \cdot \xi + g(\eta) \cdot \psi(\eta) - g(\eta) \cdot \psi(\eta)$$

$$\dot{\eta} = [f(\eta) + g(\eta) \cdot \psi(\eta)] + g(\eta) \cdot [\xi - \psi(\eta)]$$

Mudança de variável:

$$z = \xi - \psi(\eta) \rightarrow \dot{z} = \dot{\xi} - \dot{\psi}(\eta) \rightarrow \dot{z} = u - \dot{\psi}(\eta) \rightarrow \dot{z} = \nu$$

$$\begin{cases} \dot{\eta} = [f(\eta) + g(\eta) \cdot \psi(\eta)] + g(\eta) \cdot z \\ \dot{z} = \nu \end{cases}$$

Origem assintoticamente
estável



Backstepping

$$\begin{cases} \dot{\eta} = f(\eta) + g(\eta) \cdot \xi & z = \xi - \psi(\eta) \\ \dot{\xi} = u & \dot{z} = u - \dot{\psi}(\eta) \\ & \dot{z} = \nu \end{cases} \quad \begin{cases} \dot{\eta} = [f(\eta) + g(\eta) \cdot \psi(\eta)] + g(\eta) \cdot z \\ \dot{z} = \nu \end{cases}$$

Função de Lyapunov: $V_c(\eta, z) \rightarrow V_c = V(\eta) + \frac{1}{2} \cdot z^2$

Lembre-se: $\frac{\partial V}{\partial \eta} \cdot [f(\eta) + g(\eta) \cdot \psi(\eta)] \leq -W(\eta)$

$$\dot{V}_c = \begin{bmatrix} \frac{\partial V_c}{\partial \eta} & \frac{\partial V_c}{\partial z} \end{bmatrix} \cdot \begin{bmatrix} \dot{\eta} \\ \dot{z} \end{bmatrix}$$

$$\dot{V}_c = \frac{\partial V_c}{\partial \eta} \cdot \dot{\eta} + \frac{\partial V_c}{\partial z} \cdot \dot{z}$$

$$\dot{V}_c = \frac{\partial V}{\partial \eta} \cdot \{[f(\eta) + g(\eta) \cdot \psi(\eta)] + g(\eta) \cdot z\} + z \cdot \nu$$

$$\dot{V}_c = -W(\eta) + \frac{\partial V}{\partial \eta} \cdot g(\eta) \cdot z + z \cdot \nu$$



Backstepping

$$\begin{cases} \dot{\eta} = [f(\eta) + g(\eta) \cdot \psi(\eta)] + g(\eta) \cdot z \\ \dot{z} = \nu \end{cases} \quad \begin{array}{l} \text{Origem assintoticamente} \\ \text{estável} \end{array}$$

Função de Lyapunov: $V_c(\eta, z) \rightarrow V_c = V(\eta) + \frac{1}{2} \cdot z^2$

$$\dot{V}_c = -W(\eta) + \frac{\partial V}{\partial \eta} \cdot g(\eta) \cdot z + z \cdot \nu$$

Espera-se: $\dot{V}_c \leq 0$

Assuma: $\nu = -\frac{\partial V}{\partial \eta} \cdot g(\eta) - k \cdot z$

$$\dot{V}_c = -W(\eta) - k \cdot z^2$$

Assim, a origem ($\eta = 0, z = 0$) é assintoticamente estável.



Backstepping

$$\begin{cases} \dot{\eta} = f(\eta) + g(\eta) \cdot \xi \\ \dot{\xi} = u \end{cases} \quad \begin{cases} z = \xi - \psi(\eta) \\ \dot{z} = u - \dot{\psi}(\eta) \\ \dot{\xi} = \nu \end{cases} \quad \begin{cases} \dot{\eta} = [f(\eta) + g(\eta) \cdot \psi(\eta)] + g(\eta) \cdot z \\ \dot{z} = \nu \end{cases}$$

$$\nu = -\frac{\partial V}{\partial \eta} \cdot g(\eta) - k \cdot z$$

$$\dot{z} = -\frac{\partial V}{\partial \eta} \cdot g(\eta) - k \cdot [\xi - \psi(\eta)]$$

$$u - \dot{\psi}(\eta) = -\frac{\partial V}{\partial \eta} \cdot g(\eta) - k \cdot [\xi - \psi(\eta)]$$

$$u = \frac{\partial \psi(\eta)}{\partial t} \cdot \dot{\eta} - \frac{\partial V}{\partial \eta} \cdot g(\eta) - k \cdot [\xi - \psi(\eta)]$$

$$u = \frac{\partial \psi(\eta)}{\partial t} \cdot \dot{\eta} - \frac{\partial V}{\partial \eta} \cdot g(\eta) - k \cdot [\xi - \psi(\eta)]$$

$$u = \frac{\partial \psi(\eta)}{\partial t} \cdot [f(\eta) + g(\eta) \cdot \xi] - \frac{\partial V}{\partial \eta} \cdot g(\eta) - k \cdot [\xi - \psi(\eta)]$$



Backstepping

Considere o sistema
$$\begin{cases} \dot{\eta} = f(\eta) + g(\eta) \cdot \xi \\ \dot{\xi} = u \end{cases}.$$

- Seja $\psi(\eta)$ uma lei de controle que estabilize $\dot{\eta}$.
- Seja $V(\eta)$ uma função de Lyapunov que satisfaça

$$\frac{\partial V}{\partial \eta} \cdot [f(\eta) + g(\eta) \cdot \psi(\eta)] \leq -W(\eta)$$

Então, a lei de controle *feedback*:

$$u = \frac{\partial \psi(\eta)}{\partial t} \cdot [f(\eta) + g(\eta) \cdot \xi] - \frac{\partial V}{\partial \eta} \cdot g(\eta) - k \cdot [\xi - \psi(\eta)]$$

estabiliza a origem do sistema $[\dot{\eta} \quad \dot{\xi}]$ com $V_c = V(\eta) + \frac{1}{2} \cdot (\xi - \psi(\eta))^2$ como função de Lyapunov.



Exemplo 14.8

$$\dot{x}_1 = x_1^2 - x_1^3 + x_2$$

$$\dot{x}_2 = u$$

$$\dot{\eta} = \eta^2 - \eta^3 + \xi$$

$$\dot{\xi} = u$$

Tomando a primeira equação: $\dot{\eta} = \eta^2 - \eta^3 + \xi$

$\xi = \psi(\eta) = -\eta^2 - \eta$ (feedback linearizante sem cancelar η^3)

Malha fechada: $\dot{\eta} = -\eta^3 - \eta$

Encontrar função de Lyapunov, $V(\eta)$, para o sistema:

$$V(\eta) = \frac{\eta^2}{2}$$

$$\dot{V}(\eta) = \frac{\partial V}{\partial \eta} \cdot \dot{\eta}$$

$$\dot{V}(\eta) = -\eta^2 \cdot (1 + \eta^2)$$

$$\dot{V}(\eta) \leq -\eta^2$$

A origem é globalmente estável



Exemplo 14.8

$$\dot{\eta} = \eta^2 - \eta^3 + \xi$$

$$\dot{\xi} = u$$

$$V(\eta) = \frac{\eta^2}{2}$$

$$\psi(\eta) = -\eta^2 - \eta$$

Mudança de variável: $z = \xi - \psi(\eta)$

$$\dot{\eta} = \eta^2 - \eta^3 + \xi + \psi(\eta) - \psi(\eta)$$

$$\dot{\eta} = [\eta^2 - \eta^3 + \psi(\eta)] + \xi - \psi(\eta)$$

Novo sistema:

$$\begin{cases} \dot{\eta} = [\eta^2 - \eta^3 + \psi(\eta)] + z \\ \dot{z} = u - \dot{\psi}(\eta) = v \end{cases} \rightarrow \begin{cases} \dot{\eta} = \underbrace{[-\eta^3 - \eta]}_{\text{malha fechada}} + z \\ \dot{z} = u - \dot{\psi}(\eta) = v \end{cases}$$

Encontrar função de Lyapunov, $V(\eta, z)$, para este novo sistema:

$$V_c(\eta, z) = V(\eta) + \frac{1}{2} \cdot z^2$$

$$\dot{V}_c(\eta, z) = \begin{bmatrix} \frac{\partial V_c}{\partial \eta} & \frac{\partial V_c}{\partial z} \end{bmatrix} \cdot \begin{bmatrix} \dot{\eta} \\ \dot{z} \end{bmatrix}$$



Exemplo 14.8

$$\begin{aligned}\dot{\eta} &= [-\eta^3 - \eta] + z & V(\eta) &= \frac{\eta^2}{2} & V_c(\eta, z) &= V(\eta) + \frac{1}{2} \cdot z^2 \\ \dot{z} &= u - \dot{\psi}(\eta) = \nu & \psi(\eta) &= -\eta^2 - \eta & \dot{V}_c(\eta, z) &= \frac{\partial V_c}{\partial \eta} \cdot \dot{\eta} + \frac{\partial V_c}{\partial z} \cdot \dot{z}\end{aligned}$$

$$\dot{V}_c(\eta, z) = -\eta^2 \cdot (1 + \eta^2) + \eta \cdot z + z \cdot \nu$$

Assuma: $\nu = -\frac{\partial V}{\partial \eta} \cdot g(\eta) - k \cdot z \rightarrow \nu = -\eta - k \cdot z$

$$\dot{V}_c(\eta, z) = -\eta^2 \cdot (1 + \eta^2) - k \cdot z^2 \quad (\text{monotonicamente decrescente})$$

$$\nu = -\eta - k \cdot z \quad u = -\eta - k \cdot z + \dot{\psi}(\eta) \quad u = -\eta - k \cdot z + \frac{\partial \psi}{\partial \eta} \cdot \dot{\eta}$$

Lei de controle

$$u = -\eta - k \cdot (\xi + \eta^2 + \eta) + (-2 \cdot \eta - 1) \cdot (\eta^2 - \eta^3 + \xi)$$



Sumário

6 Extras



Exemplo:

Propor uma lei de controle para o sistema por linearização total dos estados:

$$\begin{aligned}\dot{x}_1 &= a \cdot \sin(x_2) \\ \dot{x}_2 &= -x_1^2 + u\end{aligned} \quad \begin{bmatrix} \dot{x}_1 \\ \dot{x}_2 \end{bmatrix} = \begin{bmatrix} a \cdot \sin(x_2) \\ -x_1^2 \end{bmatrix} + \begin{bmatrix} 0 \\ 1 \end{bmatrix} \cdot u$$

$\dot{\mathbf{x}} = \mathbf{f}(\mathbf{x}) + \mathbf{g}(\mathbf{x}) \cdot u$
 $\mathbf{f}(\mathbf{x})$ e $\mathbf{g}(\mathbf{x}) \rightarrow$ campos vetoriais.

Sistema a ser resolvido:

$$\begin{cases} L_{\mathbf{g}} h(\mathbf{x}) = 0 \\ L_{\mathbf{g}} L_{\mathbf{f}} h(\mathbf{x}) = \gamma(\mathbf{x}) \end{cases}$$

$$\begin{cases} \nabla \mathbf{h} \cdot \mathbf{g} = 0 \\ \nabla \mathbf{h} \cdot \text{ad}_{\mathbf{f}} \mathbf{g} \neq 0 \end{cases}$$

1 Condições de existência de solução:

- ▶ $V = \text{span}\{\mathbf{g}\}$ é involutivo?
- ▶ $G(\mathbf{x}) = [\mathbf{g}, \text{ad}_{\mathbf{f}} \mathbf{g}]$ tem *rank* 2?



Exemplo:

$$\dot{x}_1 = a \cdot \sin(x_2)$$

$$\dot{x}_2 = -x_1^2 + u$$

$$\begin{bmatrix} \dot{x}_1 \\ \dot{x}_2 \end{bmatrix} = \begin{bmatrix} a \cdot \sin(x_2) \\ -x_1^2 \end{bmatrix} + \begin{bmatrix} 0 \\ 1 \end{bmatrix} \cdot u$$

$\dot{\mathbf{x}} = \mathbf{f}(\mathbf{x}) + \mathbf{g}(\mathbf{x}) \cdot u$
 $\mathbf{f}(\mathbf{x})$ e $\mathbf{g}(\mathbf{x}) \rightarrow$
campos vetoriais.

$V = \text{span}\{\mathbf{g}\}$ é involutivo?

$[\mathbf{g}, \mathbf{g}] = 0 \rightarrow$ é involutivo

os parênteses de Lie dos vetores que compõem V são combinação linear (funções) dos mesmos.

$G(\mathbf{x}) = [\mathbf{g}, \text{ad}_f \mathbf{g}]$ tem *rank* 2?

$$\text{ad}_f \mathbf{g} = \begin{bmatrix} -a \cdot \cos(x_2) \\ 0 \end{bmatrix}$$

$$G(\mathbf{x}) = \begin{bmatrix} 0 & -a \cdot \cos(x_2) \\ 1 & 0 \end{bmatrix}$$

$$\cos(x_2) \neq 0 \rightarrow \text{rank} = 2$$

$$\text{rank}(\mathbf{g}, \text{ad}_f \mathbf{g}) = 2?$$

$$\mathbb{D}_0 = \{x \in \mathbb{R}^2 \mid \cos(x_2) \neq 0\}$$



Exemplo:

$$\dot{x}_1 = a \cdot \sin(x_2)$$

$$\dot{x}_2 = -x_1^2 + u$$

$$\begin{bmatrix} \dot{x}_1 \\ \dot{x}_2 \end{bmatrix} = \begin{bmatrix} a \cdot \sin(x_2) \\ -x_1^2 \end{bmatrix} + \begin{bmatrix} 0 \\ 1 \end{bmatrix} \cdot u$$

$$\dot{\mathbf{x}} = \mathbf{f}(\mathbf{x}) + \mathbf{g}(\mathbf{x}) \cdot u$$

$\mathbf{f}(\mathbf{x})$ e $\mathbf{g}(\mathbf{x}) \rightarrow$
campos vetoriais.

Sistema a ser resolvido:

$$\begin{cases} L_{\mathbf{g}}h(\mathbf{x}) = 0 \\ L_{\mathbf{g}}L_{\mathbf{f}}h(\mathbf{x}) = \gamma(\mathbf{x}) \neq 0 \end{cases}$$

$$\begin{cases} \nabla \mathbf{h} \cdot \mathbf{g} = 0 \\ \nabla \mathbf{h} \cdot \text{ad}_{\mathbf{f}} \mathbf{g} \neq 0 \end{cases}$$

$$h(0) = 0$$

$$L_{\mathbf{g}}h(\mathbf{x}) = \begin{bmatrix} \frac{\partial h}{\partial x_1} & \frac{\partial h}{\partial x_2} \end{bmatrix} \cdot \begin{bmatrix} 0 \\ 1 \end{bmatrix} \rightarrow \frac{\partial h}{\partial x_2} = 0 \rightarrow h \text{ não é função de } x_2$$

$$L_{\mathbf{f}}h(\mathbf{x}) = \begin{bmatrix} \frac{\partial h}{\partial x_1} & \frac{\partial h}{\partial x_2} \end{bmatrix} \cdot \begin{bmatrix} a \cdot \sin(x_2) \\ -x_1^2 \end{bmatrix} = \frac{\partial h}{\partial x_1} \cdot a \cdot \sin(x_2)$$

$$L_{\mathbf{g}}L_{\mathbf{f}}h(\mathbf{x}) = \begin{bmatrix} \frac{\partial L_{\mathbf{f}}h}{\partial x_1} & \frac{\partial L_{\mathbf{f}}h}{\partial x_2} \end{bmatrix} \cdot \begin{bmatrix} 0 \\ 1 \end{bmatrix} \rightarrow \frac{\partial h}{\partial x_1} \cdot a \cdot \cos(x_2) \neq 0 \begin{cases} \cos(x_2) \neq 0 \text{ em } \mathbb{D}_0 \\ \text{Assim, } \frac{\partial h}{\partial x_1} \neq 0 \end{cases}$$



Exemplo:

$$\dot{x}_1 = a \cdot \sin(x_2)$$

$$\dot{x}_2 = -x_1^2 + u$$

$$\begin{bmatrix} \dot{x}_1 \\ \dot{x}_2 \end{bmatrix} = \begin{bmatrix} a \cdot \sin(x_2) \\ -x_1^2 \end{bmatrix} + \begin{bmatrix} 0 \\ 1 \end{bmatrix} \cdot u$$

$\dot{\mathbf{x}} = \mathbf{f}(\mathbf{x}) + \mathbf{g}(\mathbf{x}) \cdot u$
 $\mathbf{f}(\mathbf{x})$ e $\mathbf{g}(\mathbf{x}) \rightarrow$
campos vetoriais.

h deve ser resolvido de tal forma que:

- não seja função de x_2 ($\frac{\partial h}{\partial x_2} = 0$)
- seja função de x_1 ($\frac{\partial h}{\partial x_1} = 0$) e
- $h(0)$

$h = x_1$ satisfaz estas condições.

Então, a seguinte transformação é proposta:

$$z = \begin{bmatrix} h(x) \\ L_f h(x) \end{bmatrix} = \begin{bmatrix} x_1 \\ a \cdot \sin(x_2) \end{bmatrix}$$

É difeomorfismo?

Lei de controle: desenvolvemos anteriormente...

